

Program EVALPLOT  
(Version 2018-1)

by

Dermott E. Cullen  
(Present Contact Information)

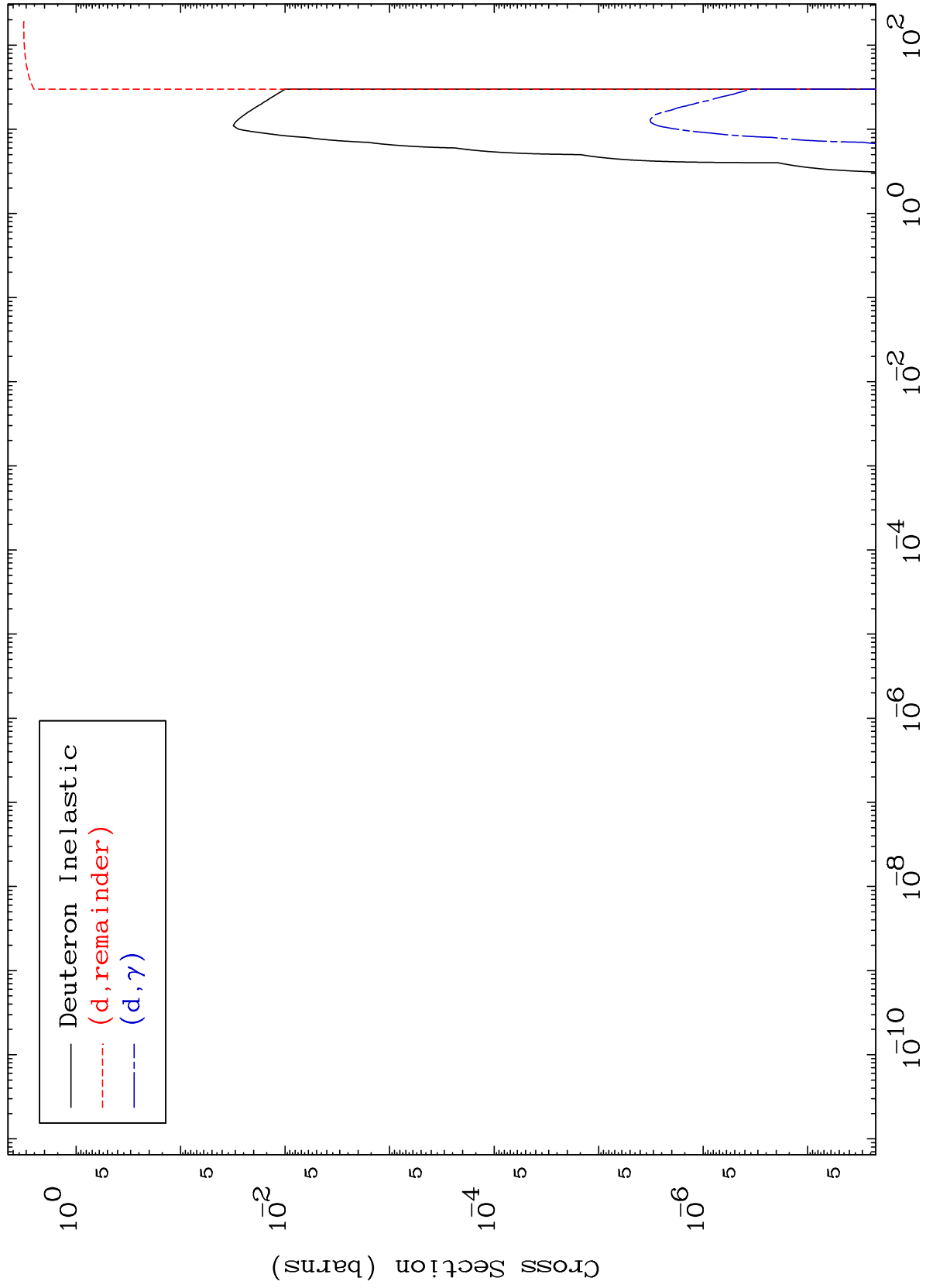
Dermott E. Cullen  
1466 Hudson Way  
Livermore, CA 94550

U.S.A.

Tele: 925-443-1911

E.Mail: [redcullen1@comcast.net](mailto:redcullen1@comcast.net)  
Web: [redcullen1.net/HOMEPAGE.NEW](http://redcullen1.net/HOMEPAGE.NEW)

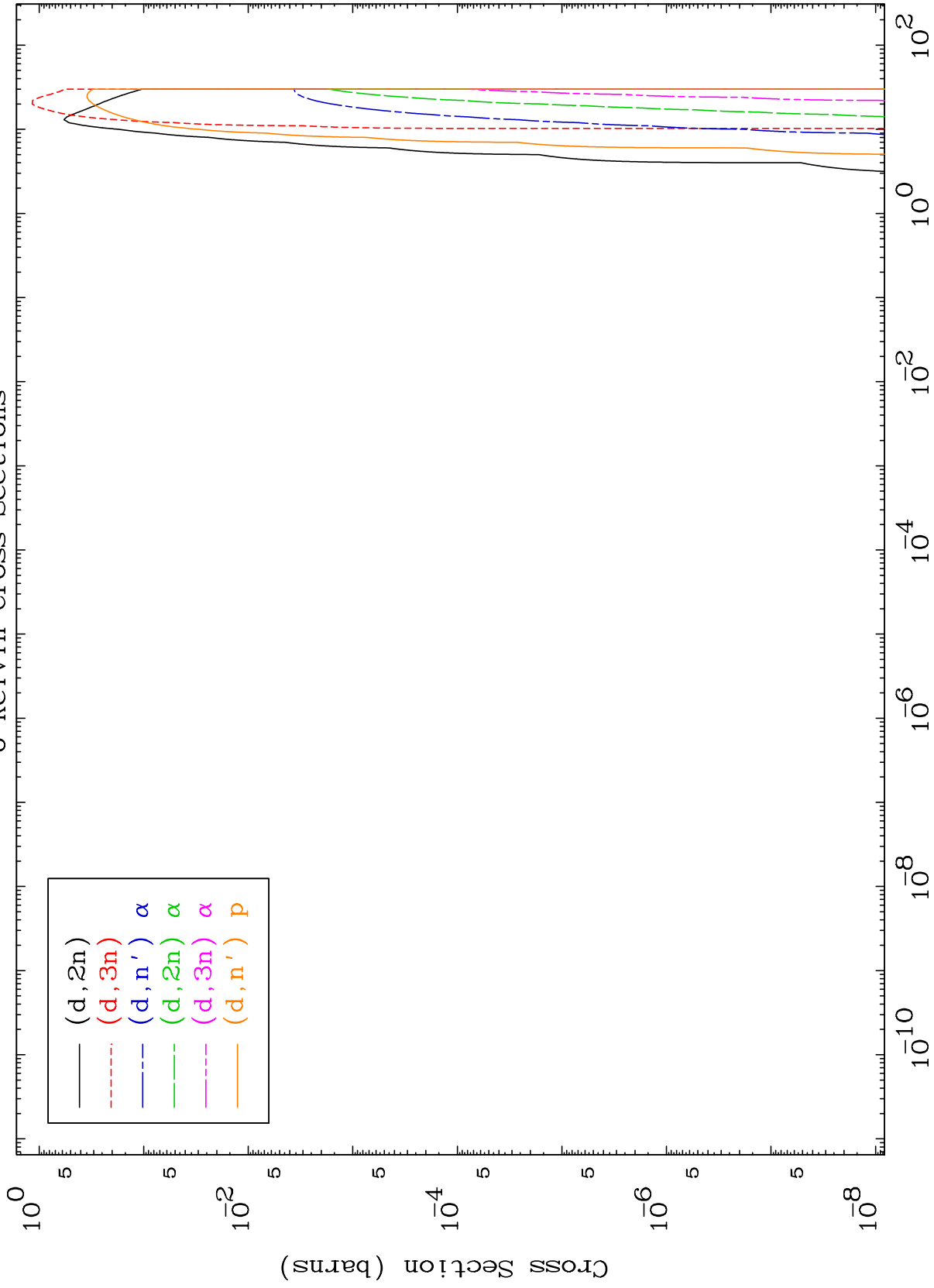
Press Mouse Button to Start



MAT 7928

Deuteron Neutron Production  
0 Kelvin Cross Sections

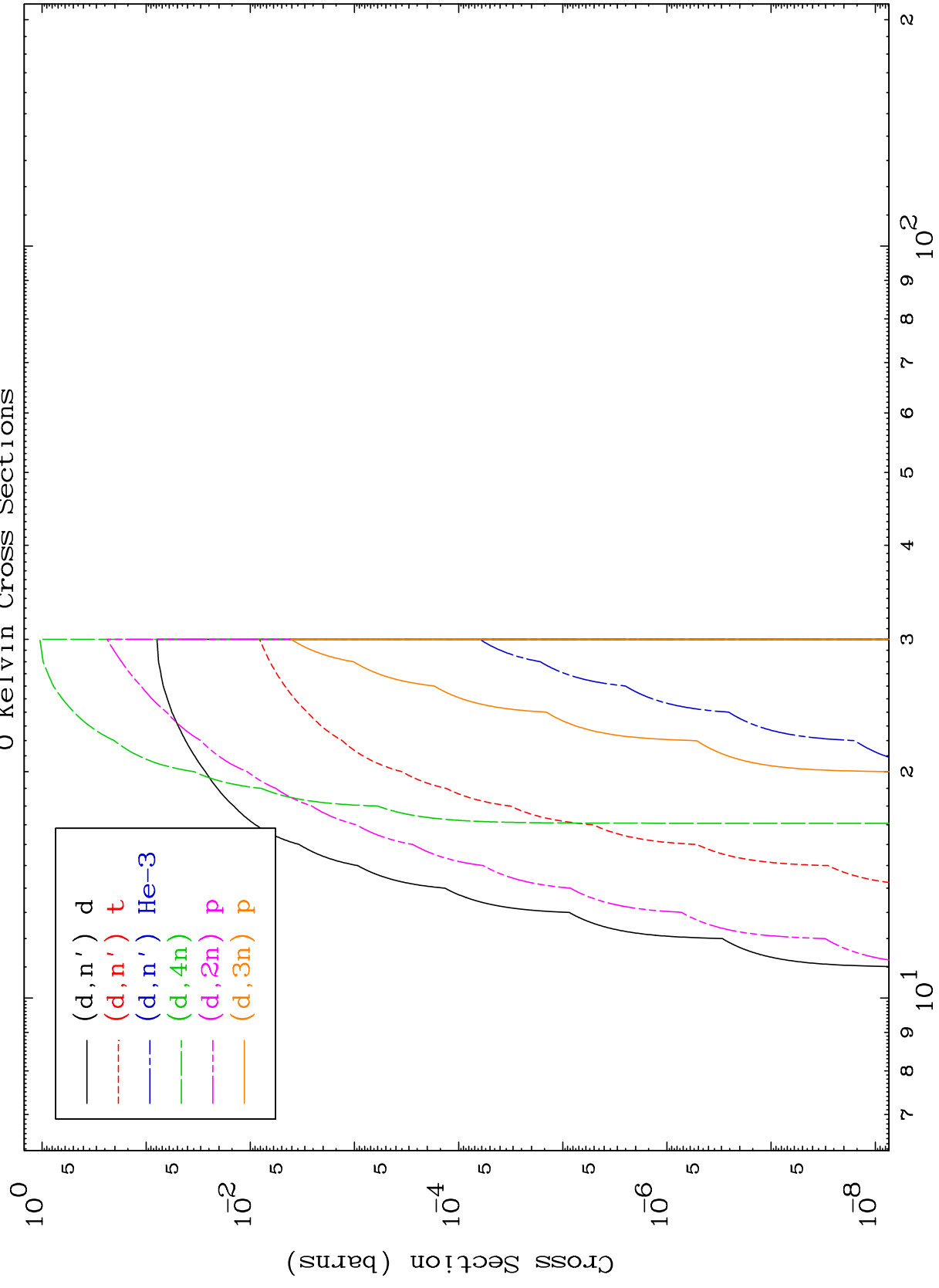
79-Au-198

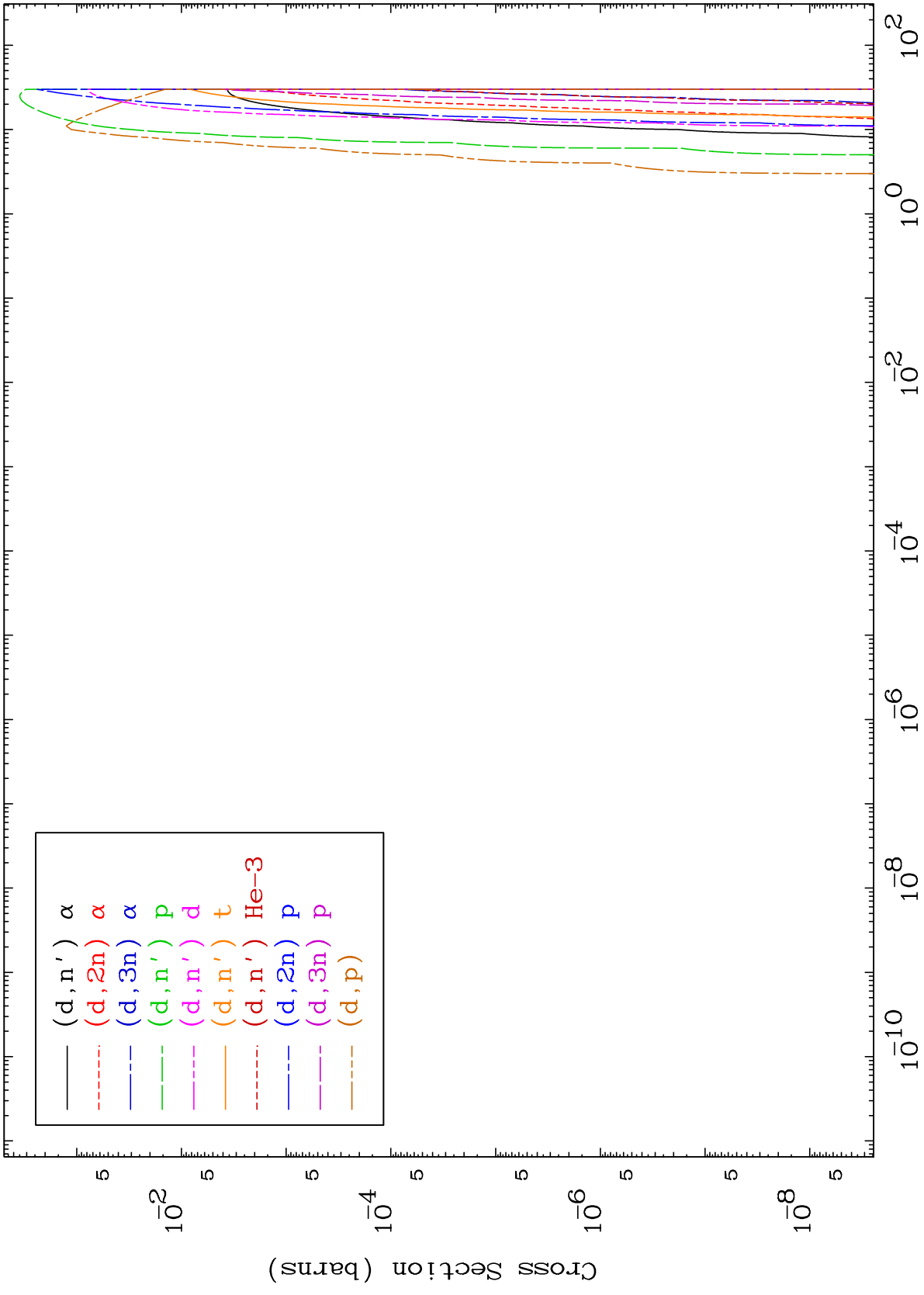


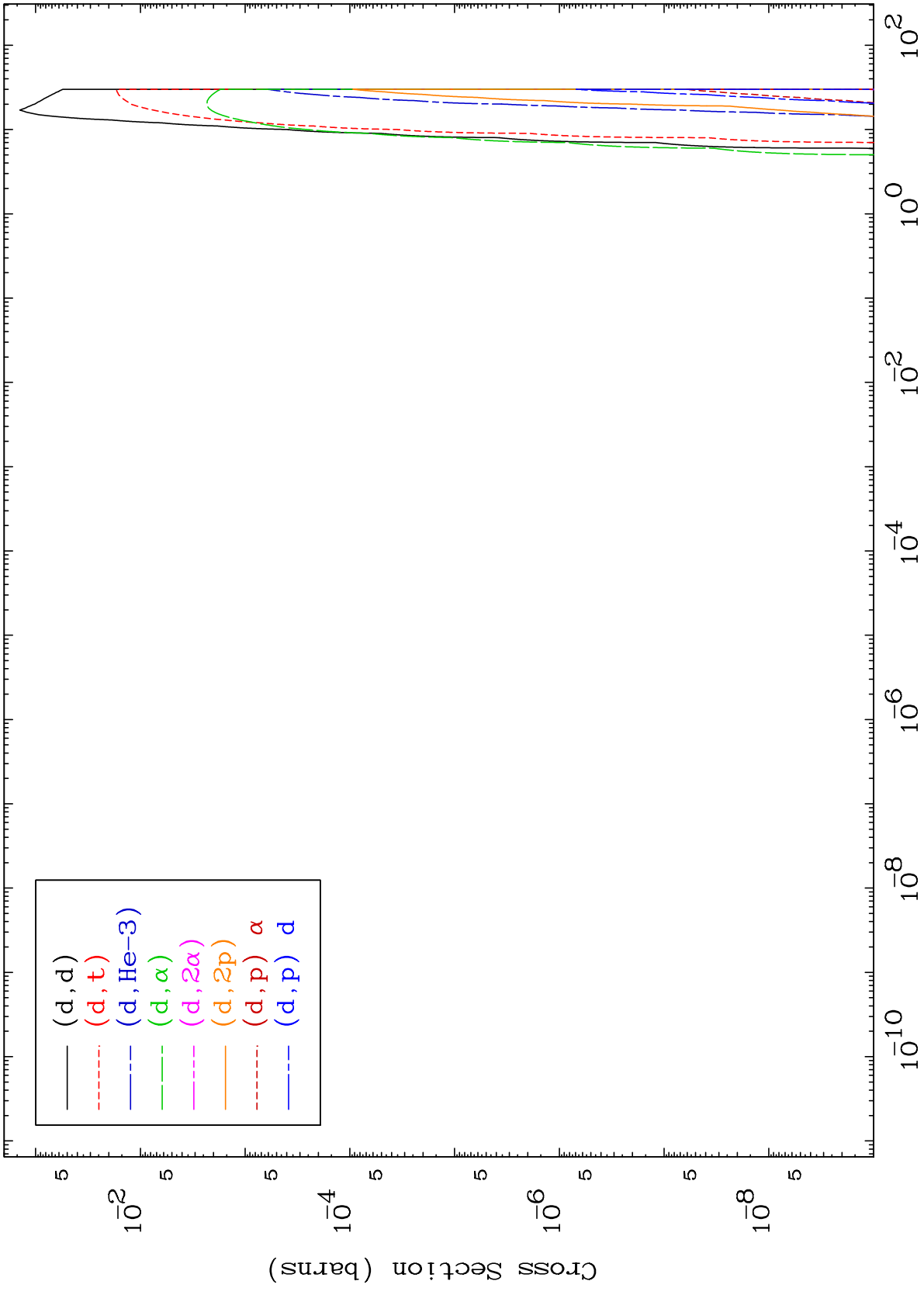
2

Incident Energy (MeV)

79-Au-198



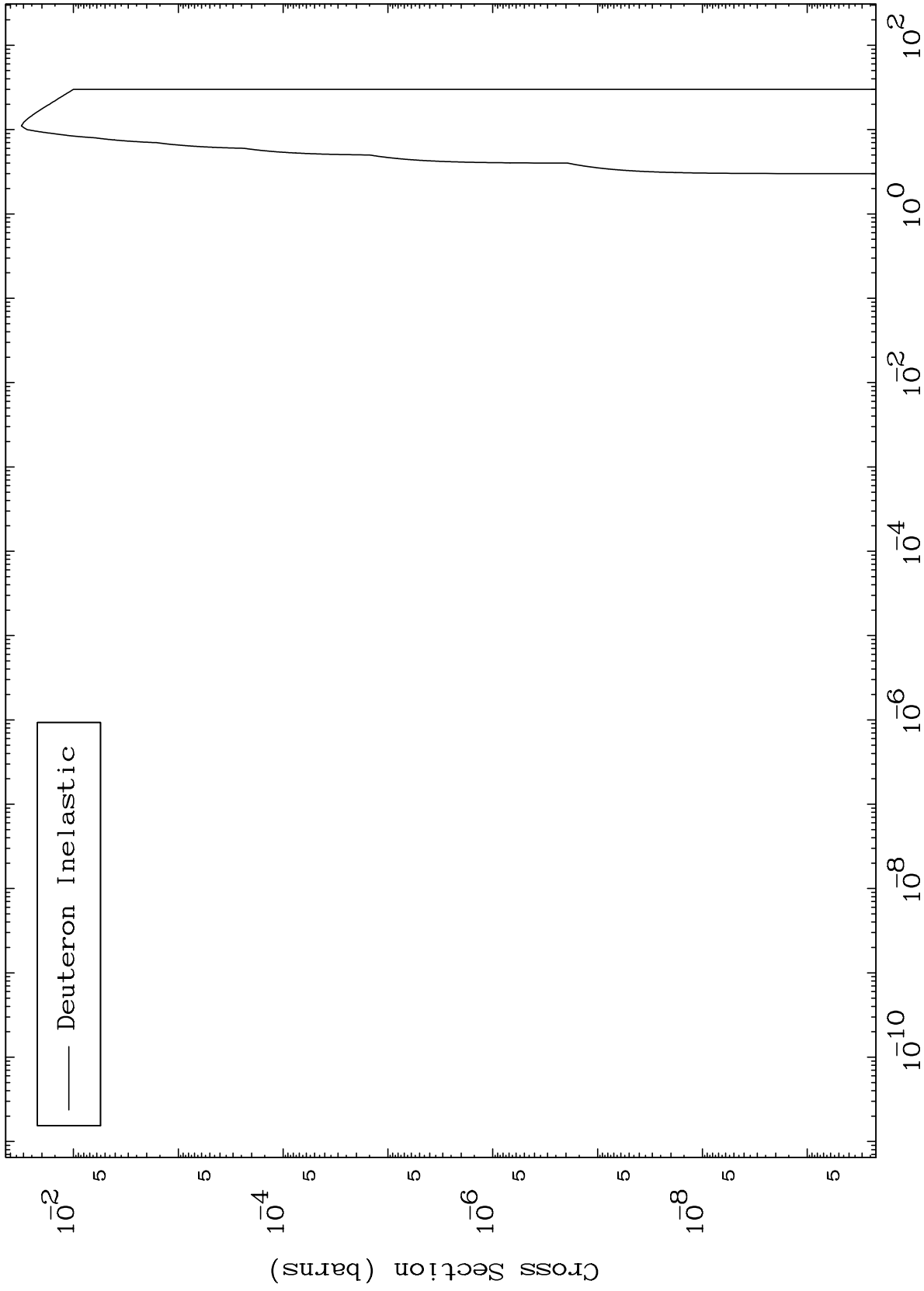




MAT 7928

(d,n') Level  
0 Kelvin Cross Sections

79-Au-198



6

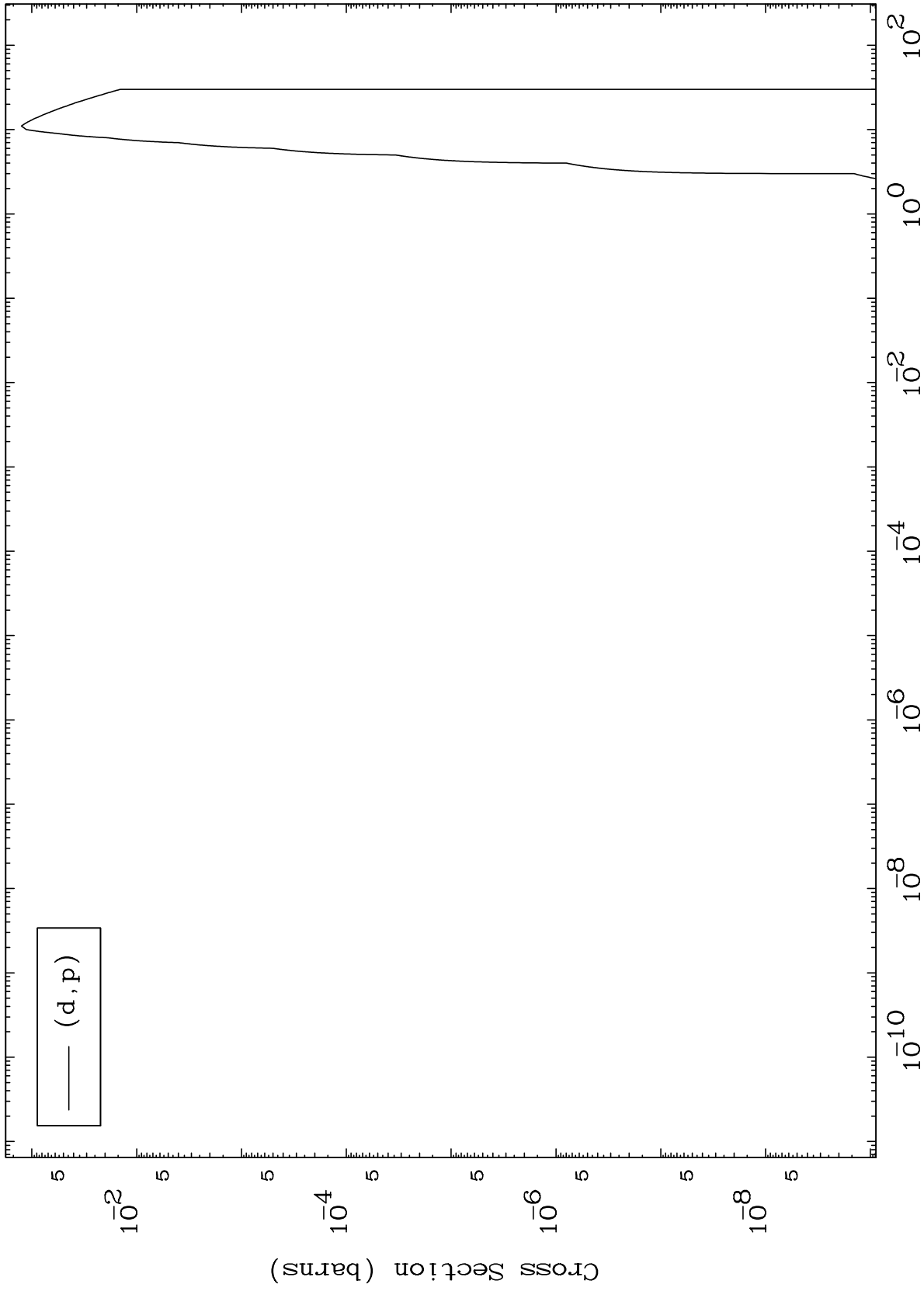
Incident Energy (MeV)

79-Au-198

MAT 7928

(d,p) Levels  
0 Kelvin Cross Sections

79-Au-198



7

Incident Energy (MeV)

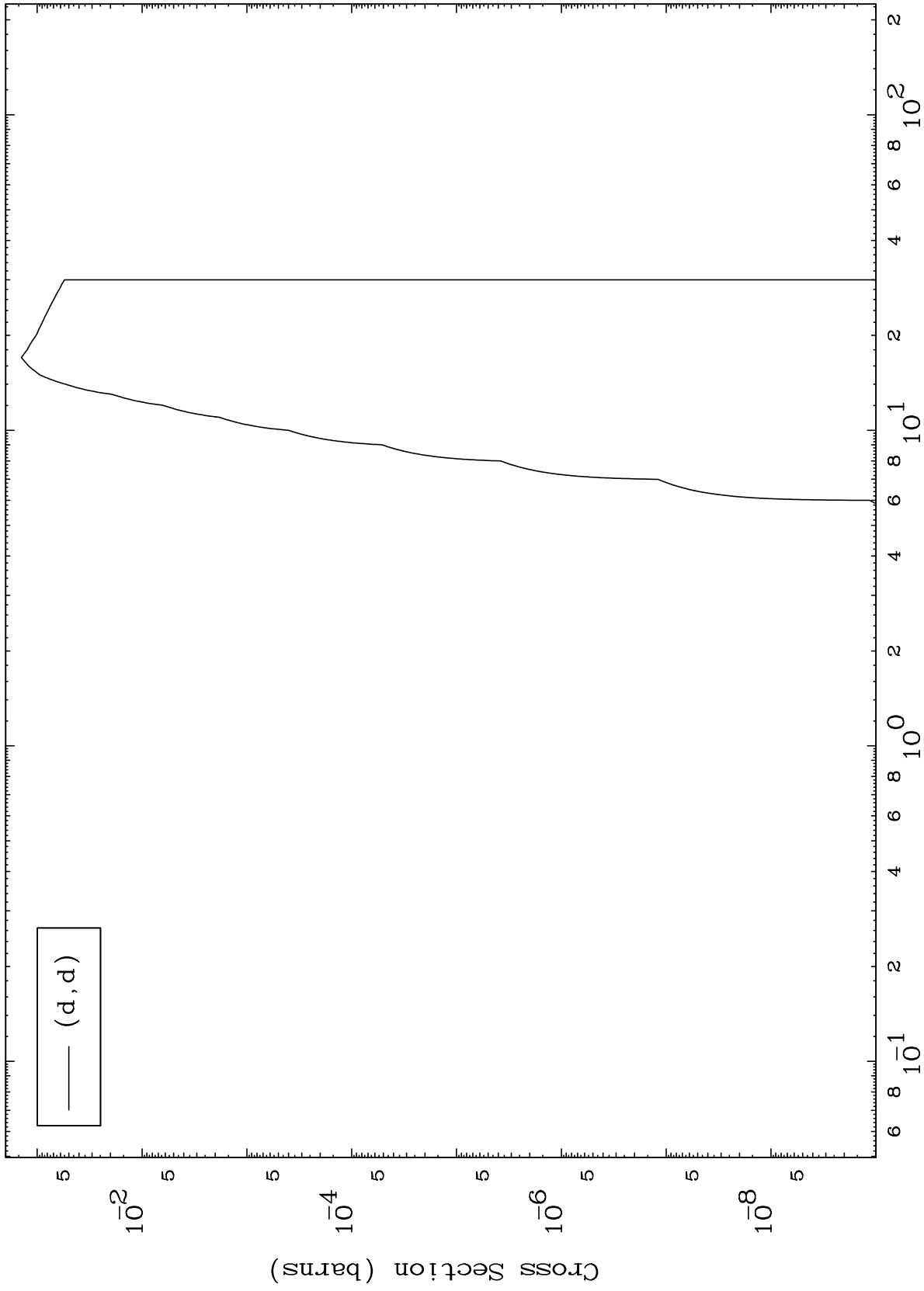
79-Au-198



MAT 7928

(d,d) Levels  
0 Kelvin Cross Sections

79-Au-198



8

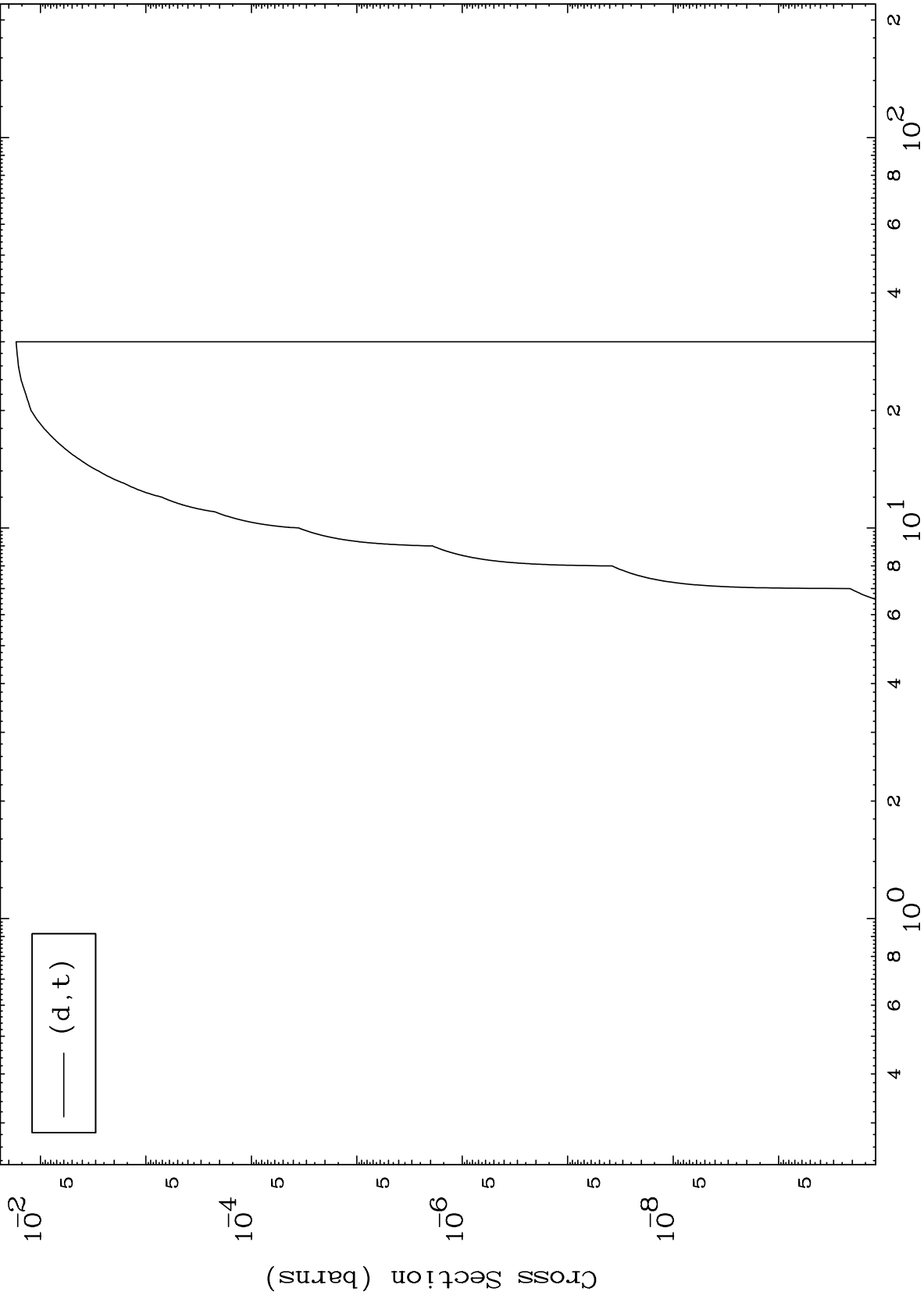
Incident Energy (MeV)

79-Au-198

MAT 7928

(d,t) Levels  
0 Kelvin Cross Sections

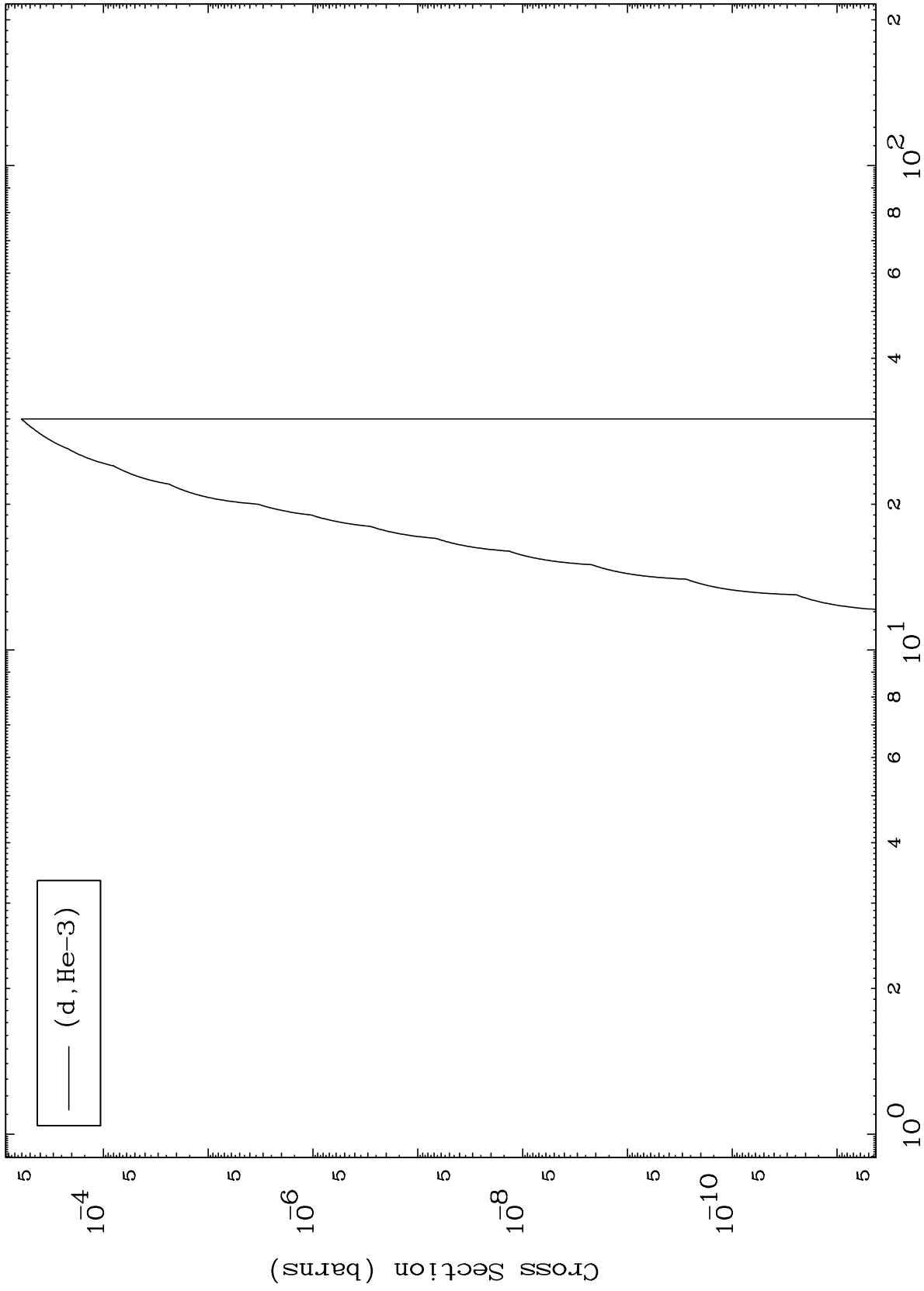
79-Au-198



MAT 7928

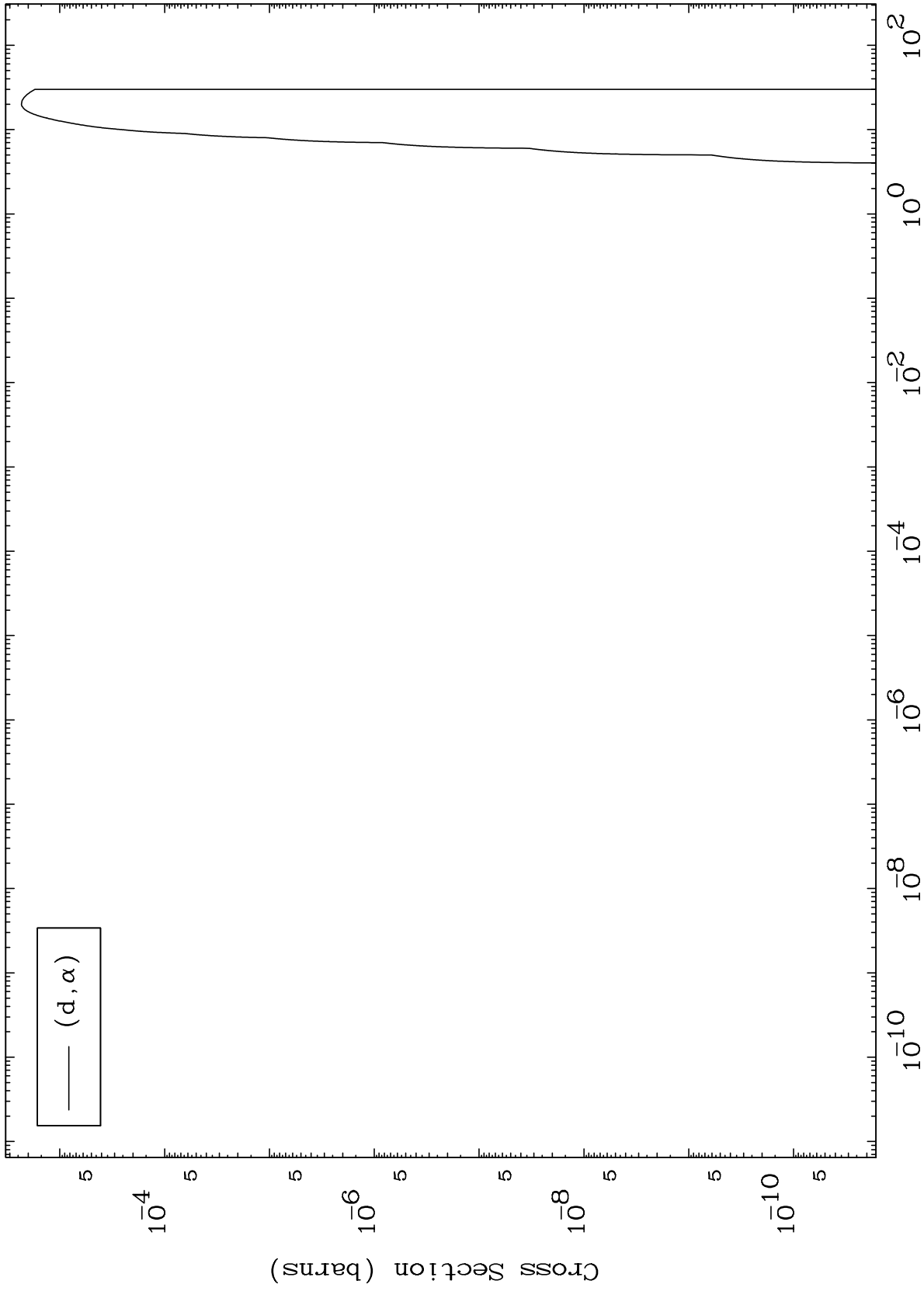
(d,He3) Levels  
0 Kelvin Cross Sections

79-Au-198



79-Au-198

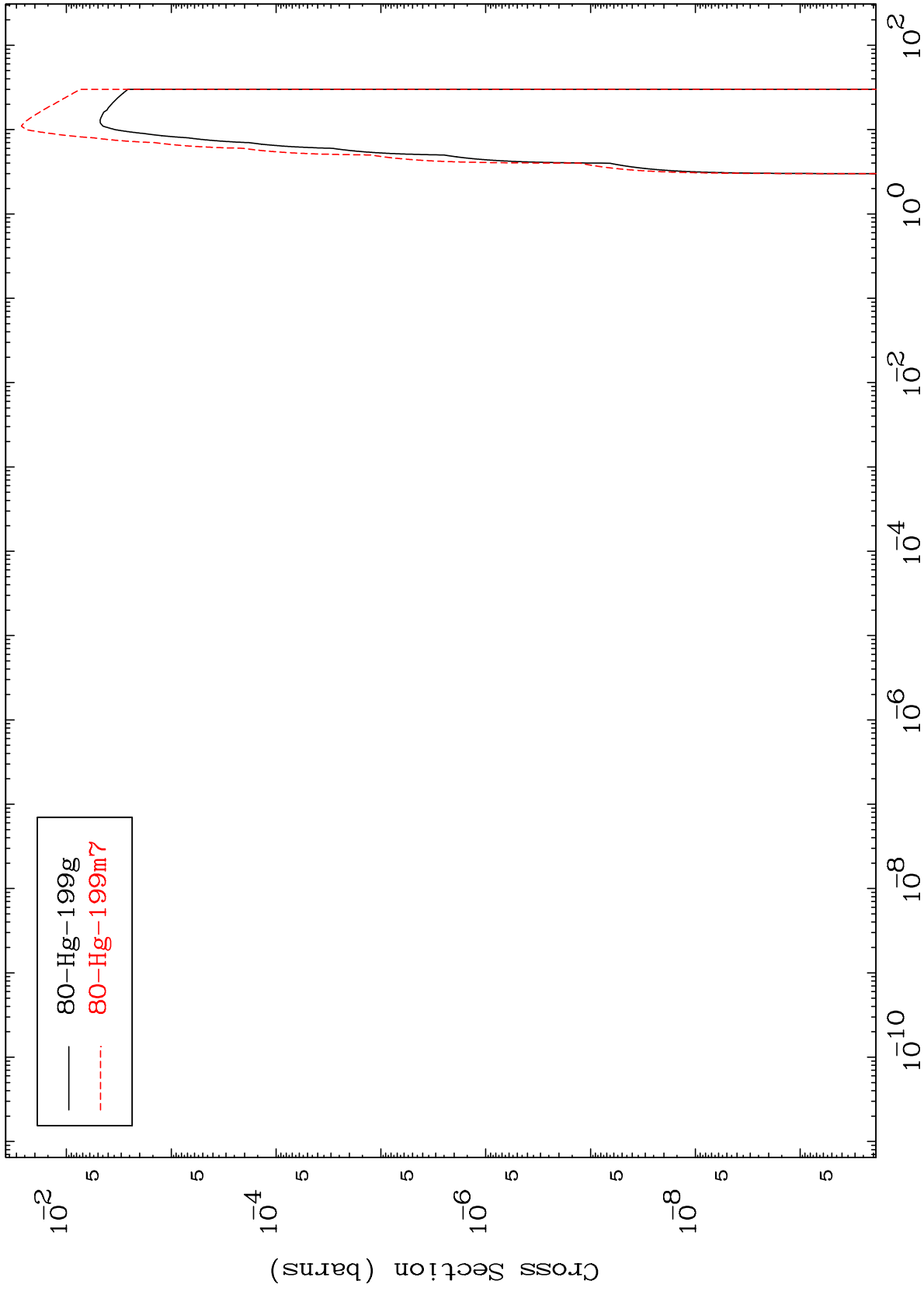
79-Au-198



MAT 7928

Deuteron Inelastic  
Radionuclide Production Cross Section

79-Au-198

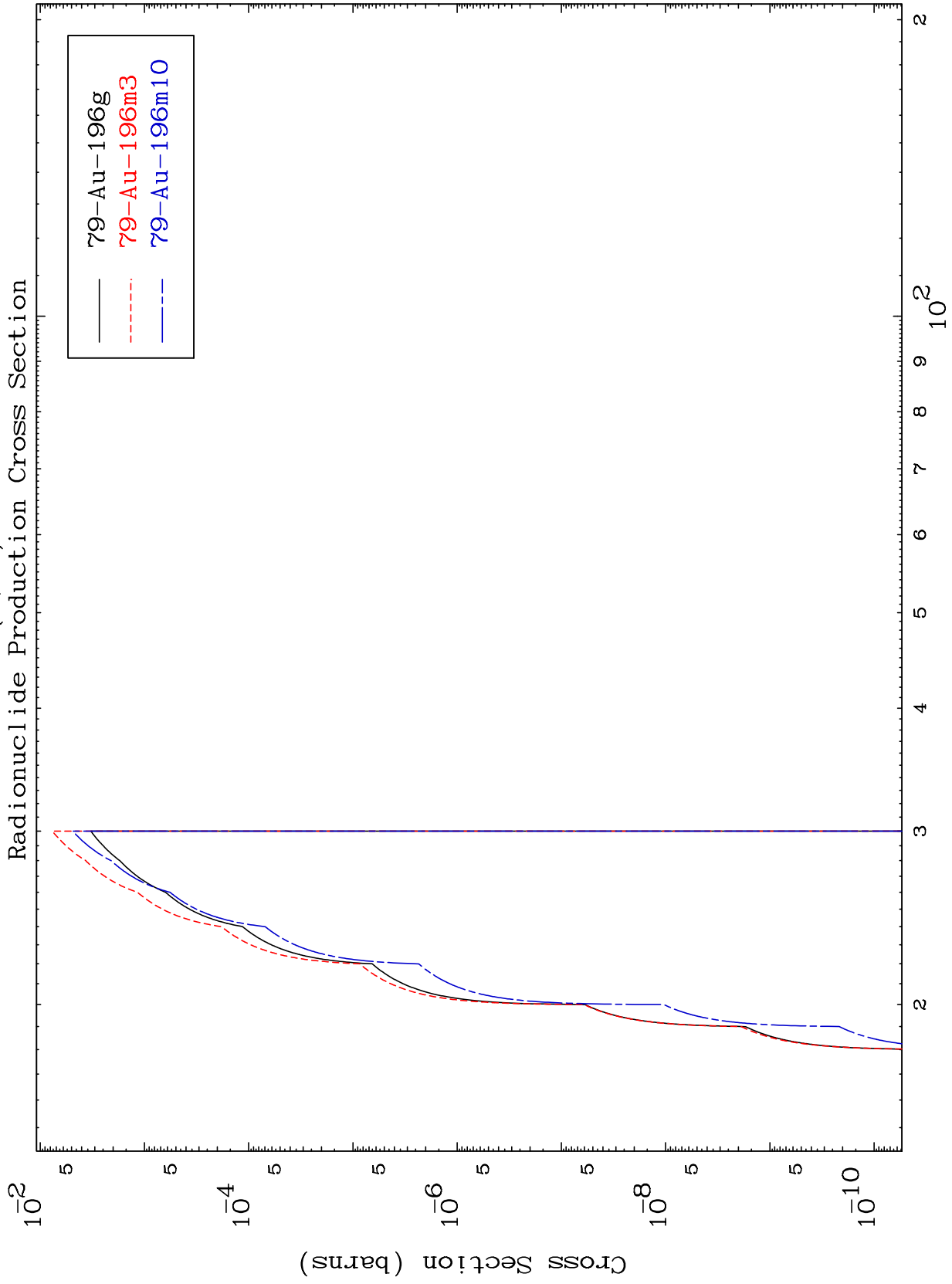


79-Au-198

MAT 7928

(d,2n) d

<sup>79</sup>Au-198



13

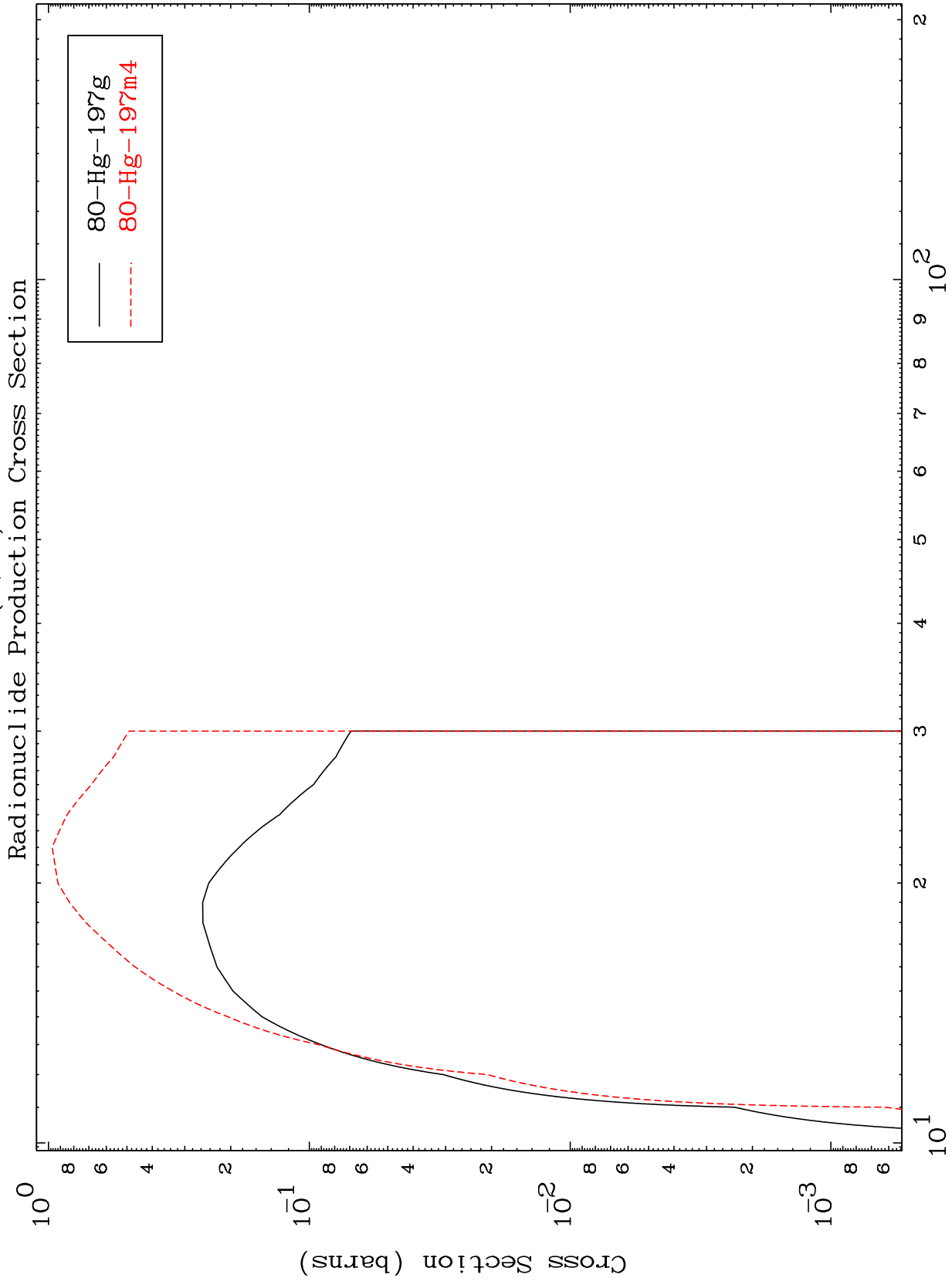
Incident Energy (MeV)

<sup>79</sup>Au-198

MAT 7928

(d,3n)

79-Au-198



79-Au-198

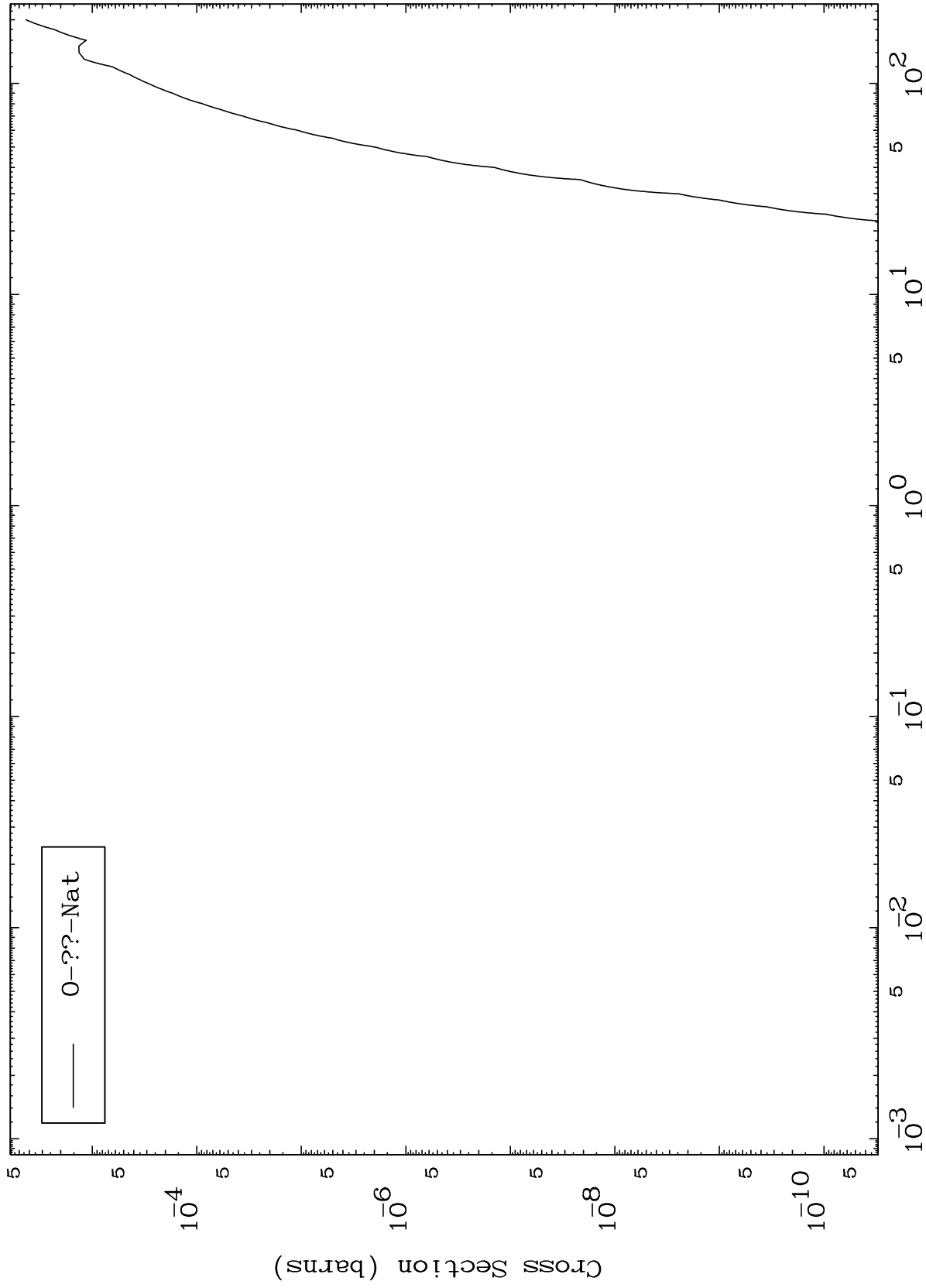
Incident Energy (MeV)

14

MAT 7928

Deuteron Fission  
Radionuclide Production Cross Section

79-Au-198



15

Incident Energy (MeV)

79-Au-198

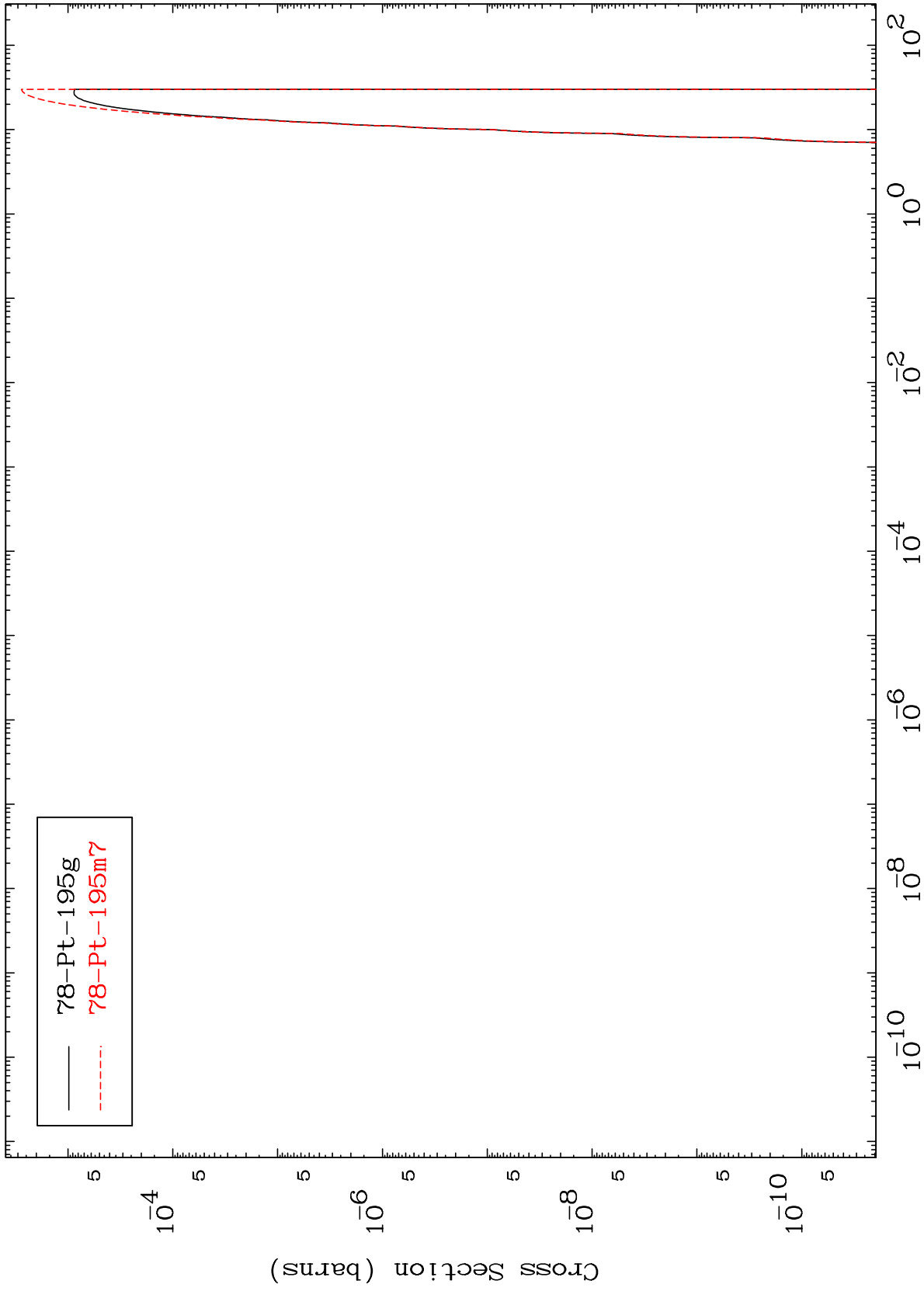


MAT 7928

(d,n')  $\alpha$

<sup>79</sup>Au-198

Radionuclide Production Cross Section



16

Incident Energy (MeV)

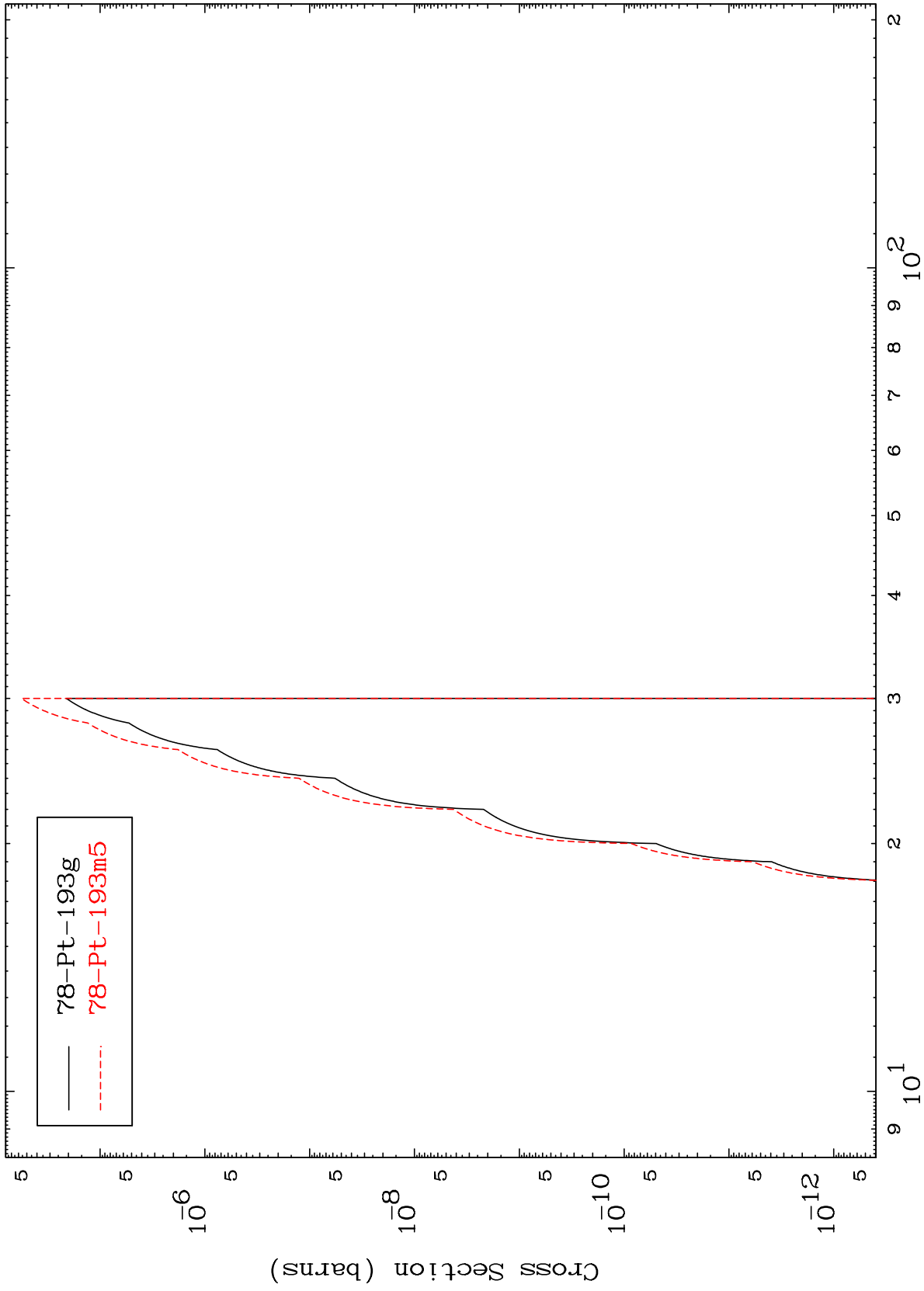
<sup>79</sup>Au-198

MAT 7928

(d,3n)  $\alpha$

79-Au-198

Radionuclide Production Cross Section



17

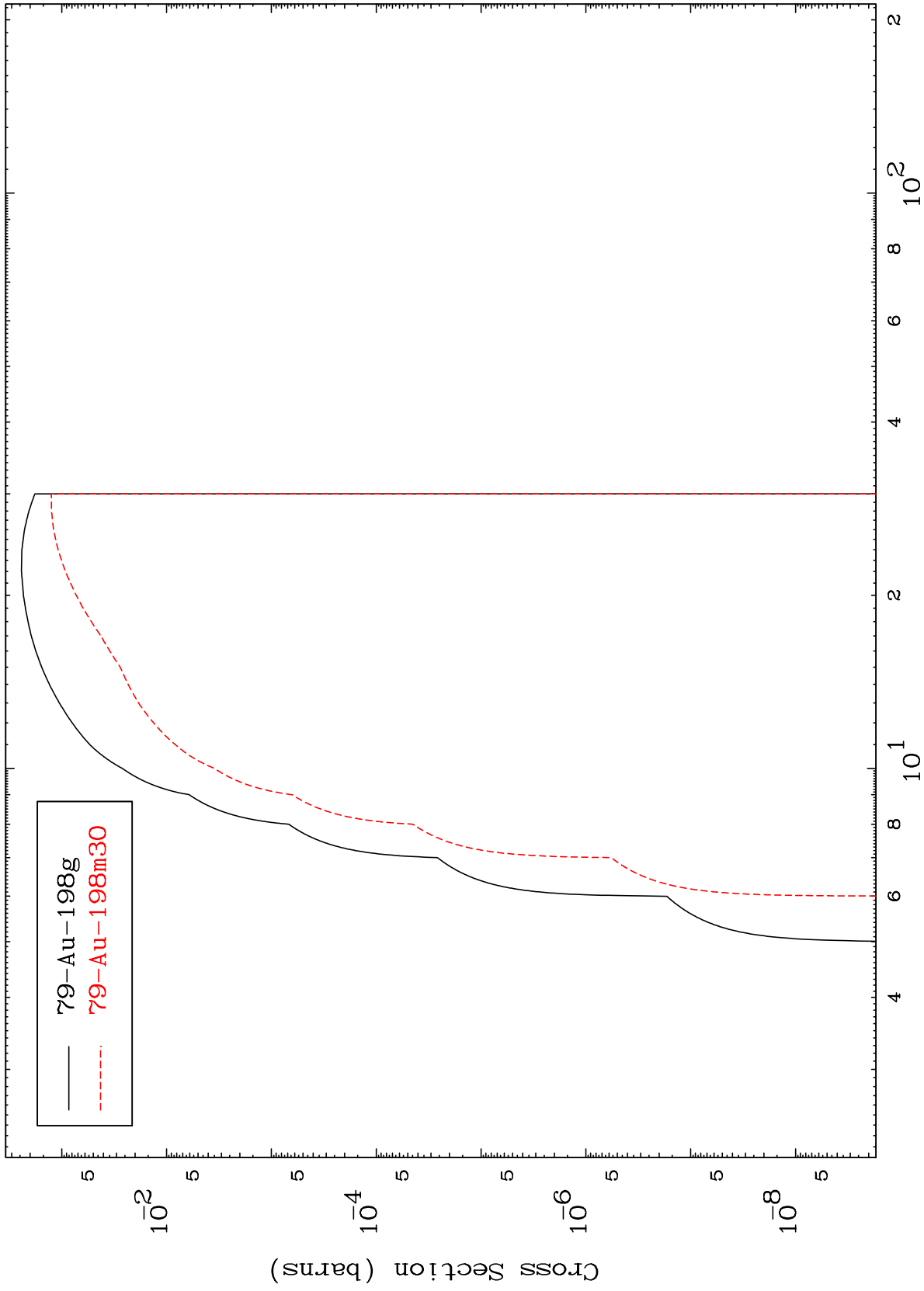
Incident Energy (MeV)

79-Au-198

MAT 7928

<sup>79</sup>Au-198

(d,n') p  
Radionuclide Production Cross Section



18

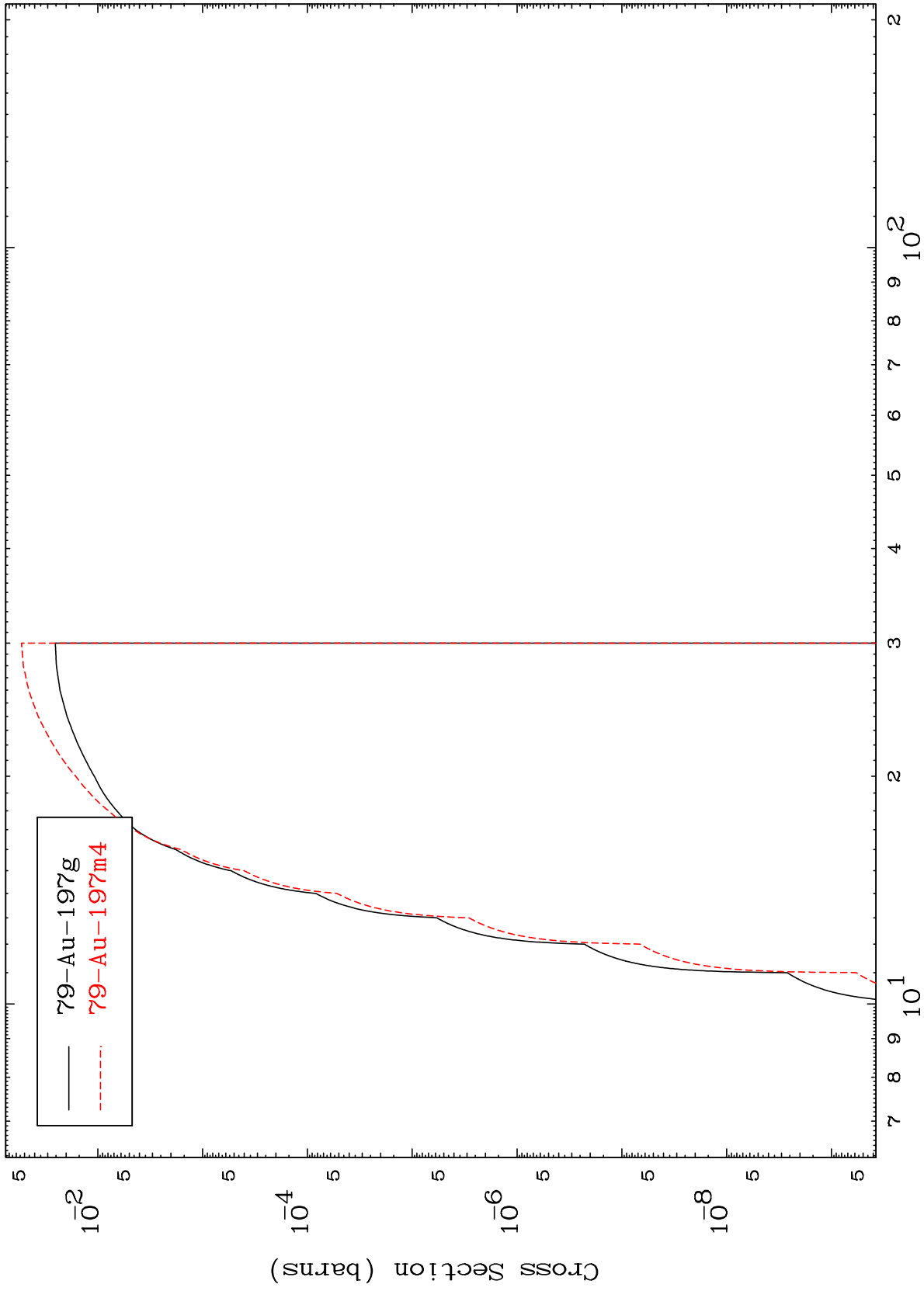
<sup>79</sup>Au-198

MAT 7928

(d,n') d

<sup>79</sup>Au-198

Radionuclide Production Cross Section



19

Incident Energy (MeV)

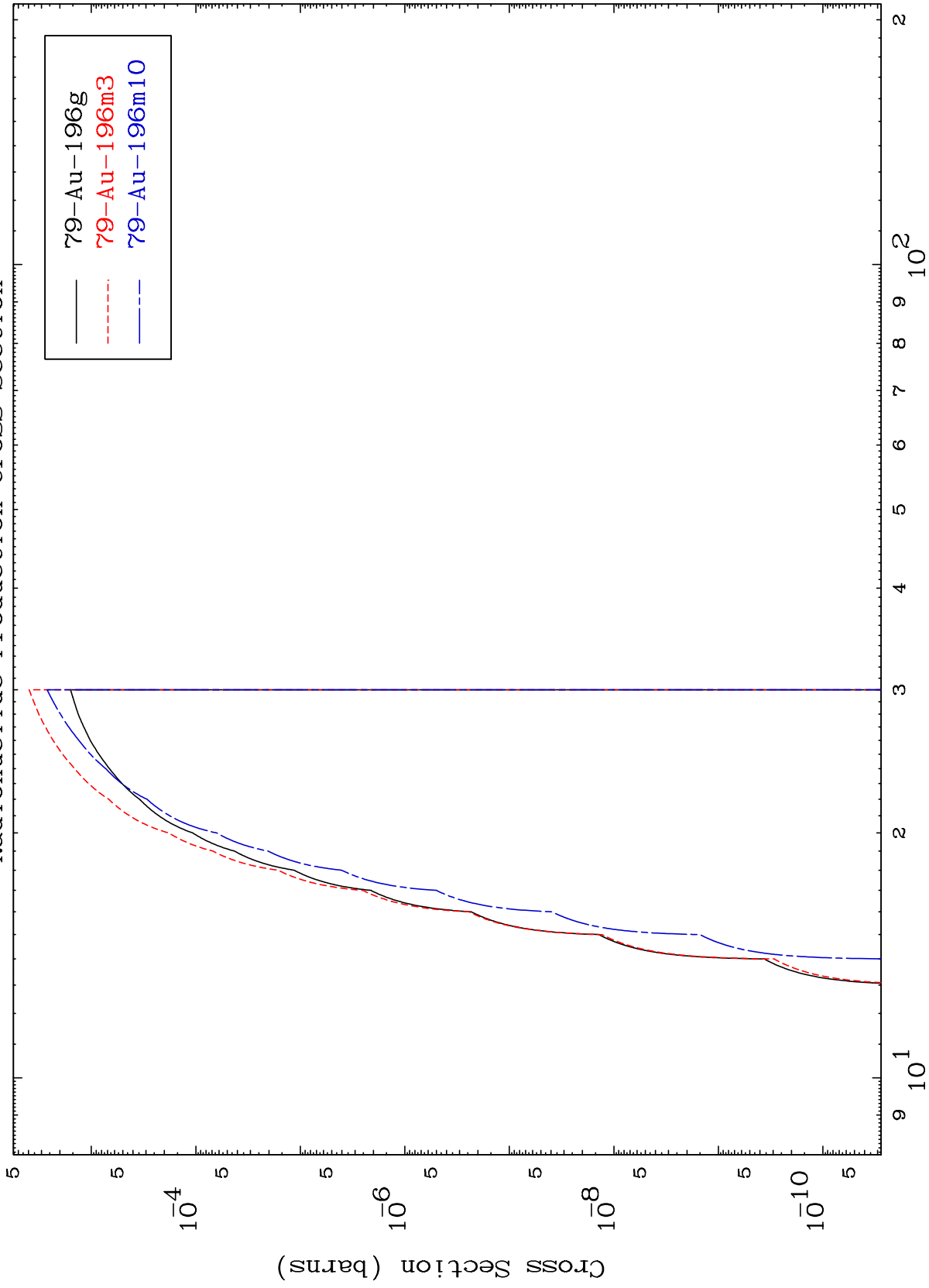
<sup>79</sup>Au-198

MAT 7928

(d,n') t

<sup>79</sup>Au-198

Radionuclide Production Cross Section



20

Incident Energy (MeV)

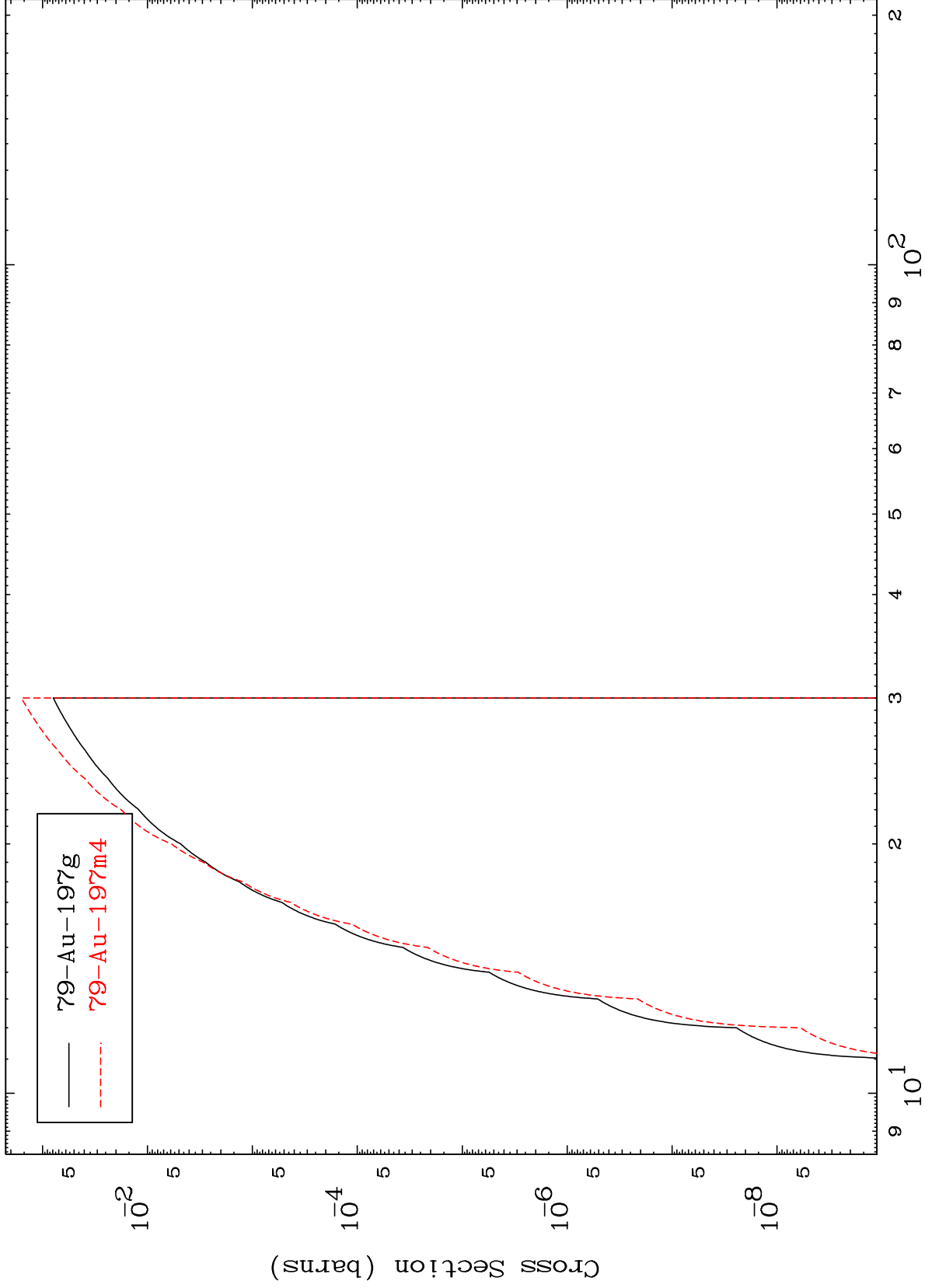
<sup>79</sup>Au-198

MAT 7928

(d,2n) p

<sup>79</sup>Au-198

Radionuclide Production Cross Section



21

Incident Energy (MeV)

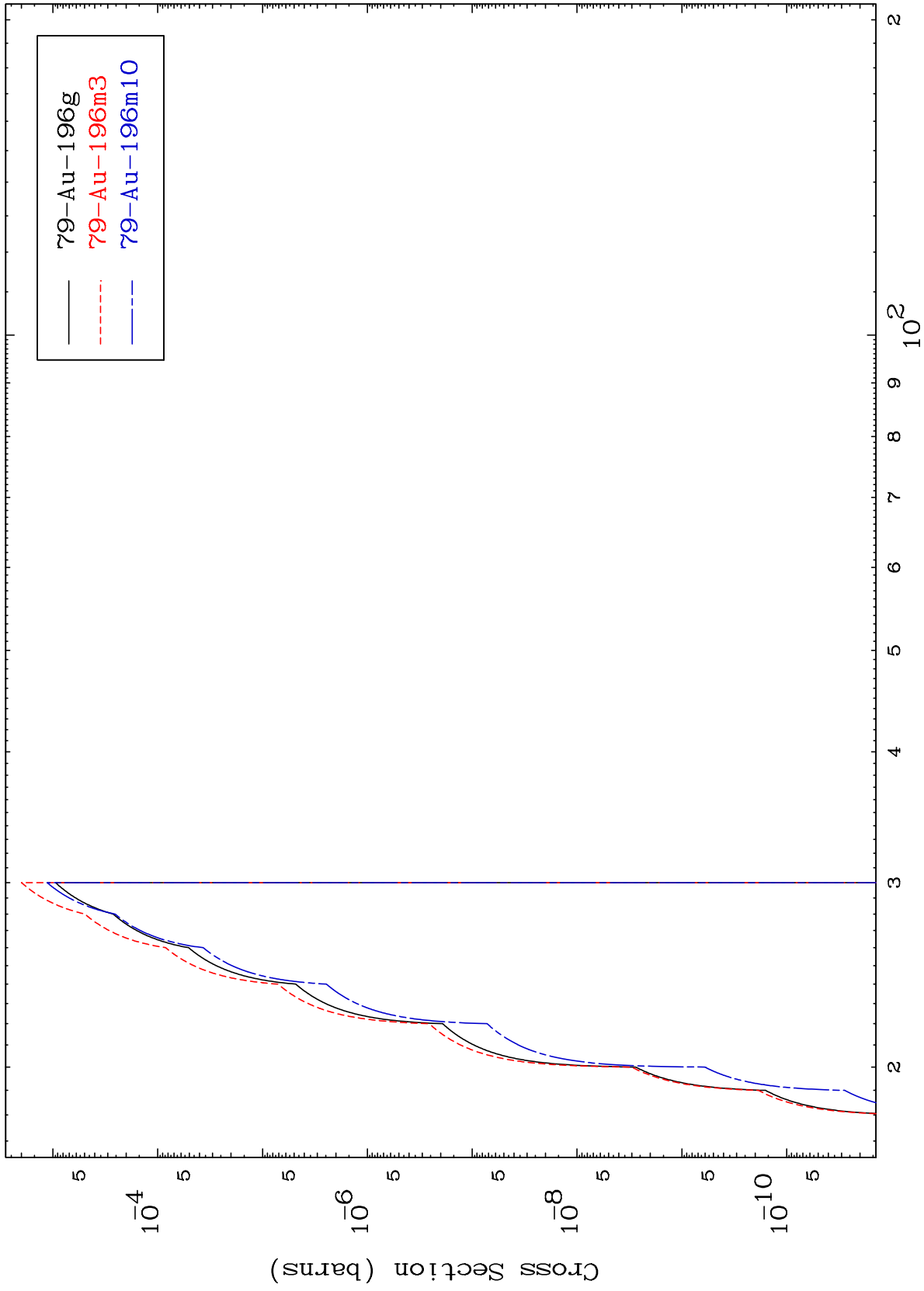
<sup>79</sup>Au-198

MAT 7928

(d,3n) p

<sup>79</sup>Au-198

Radionuclide Production Cross Section



22

Incident Energy (MeV)

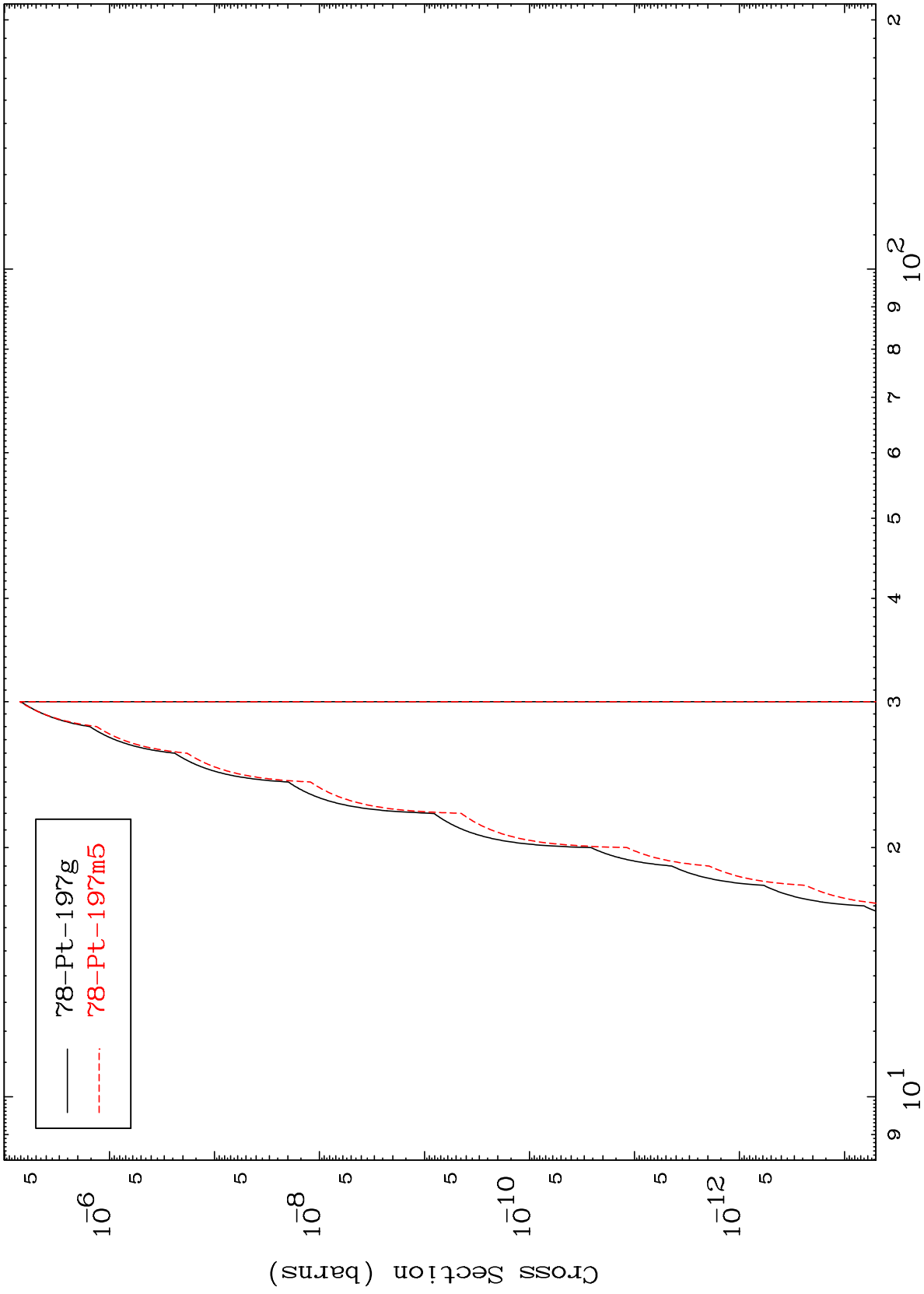
<sup>79</sup>Au-198

MAT 7928

(d,2n) p

79-Au-198

Radionuclide Production Cross Section



23

Incident Energy (MeV)

79-Au-198

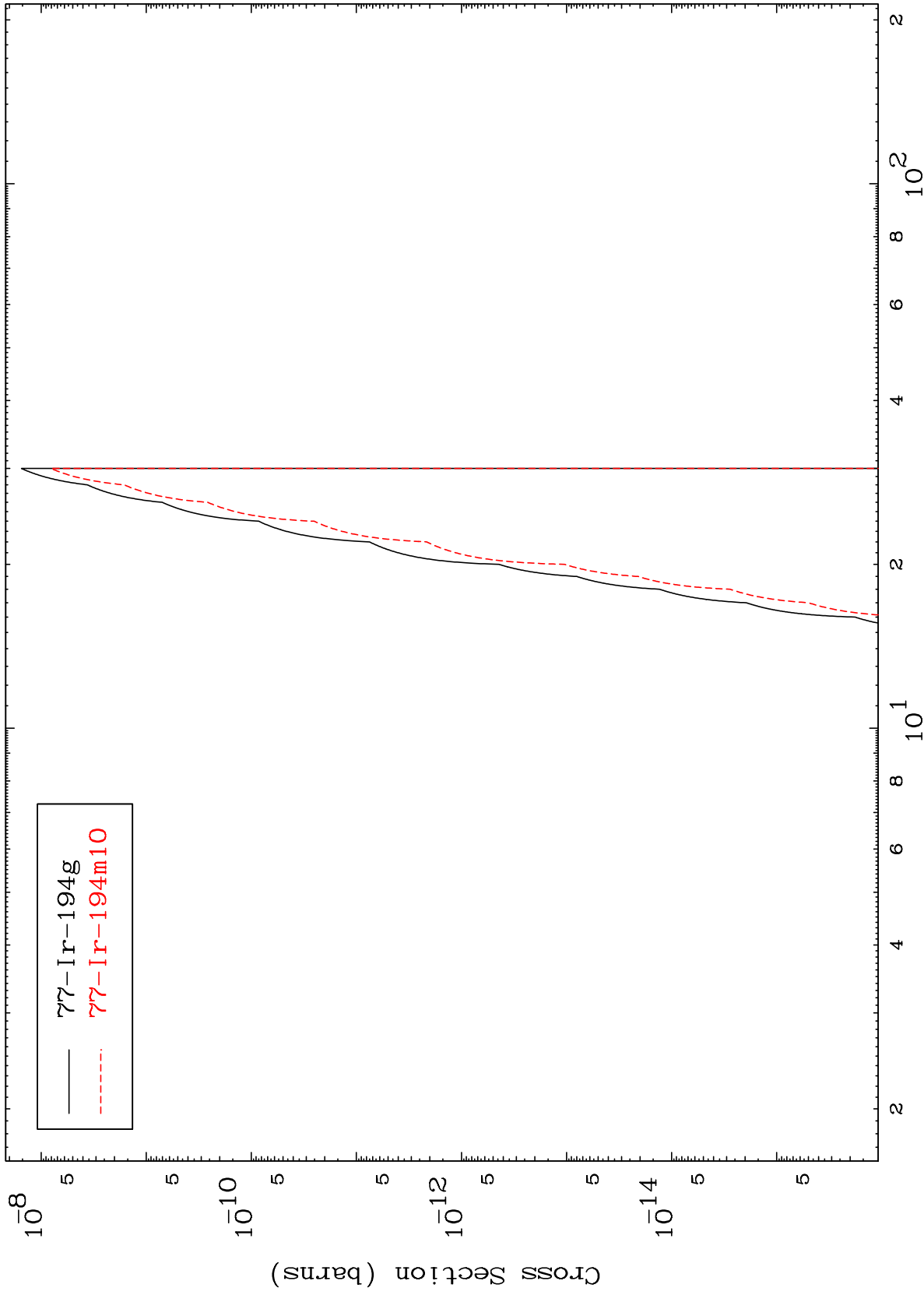


MAT 7928

(d,n') p  $\alpha$

79-Au-198

Radionuclide Production Cross Section



24

Incident Energy (MeV)

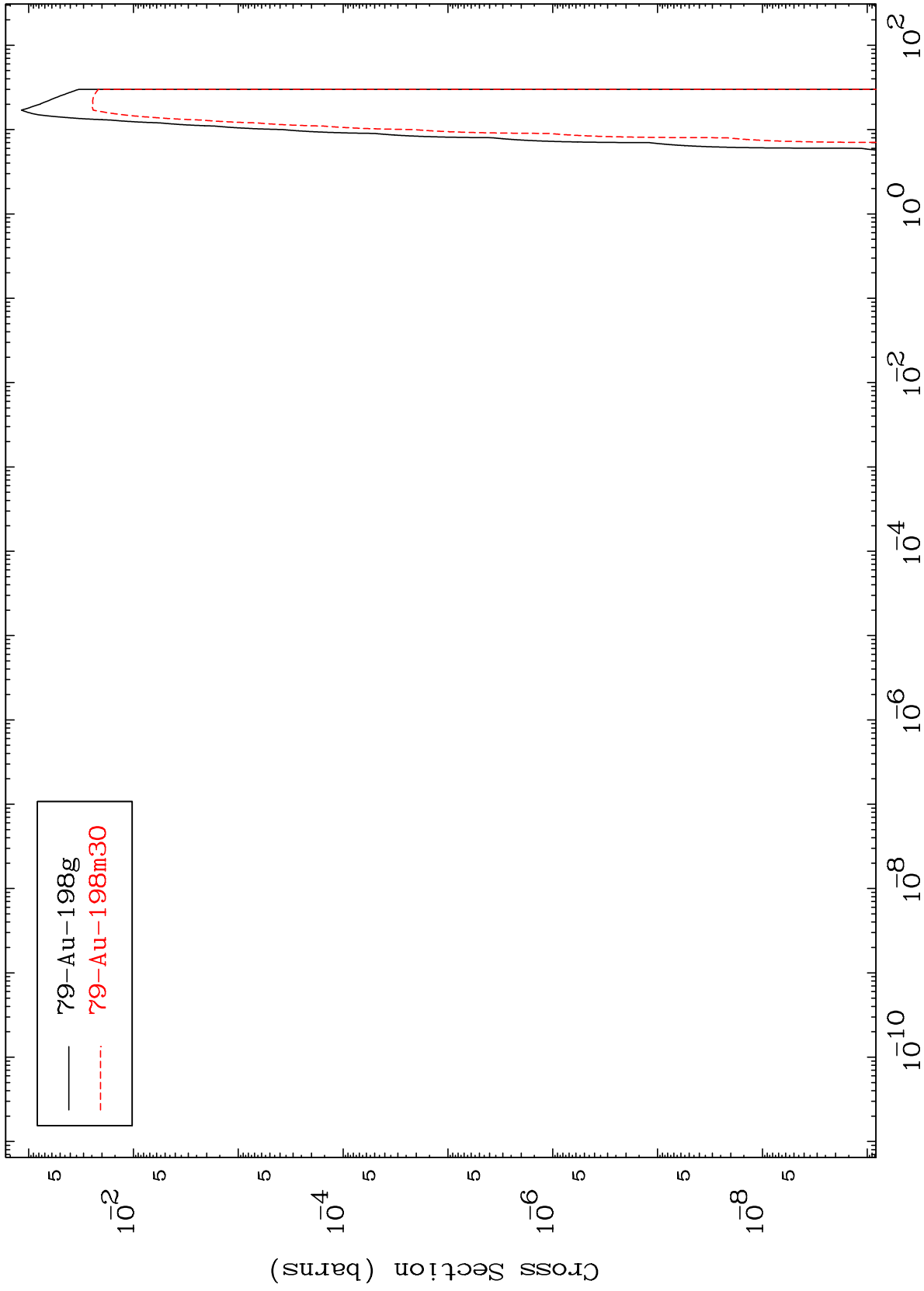
79-Au-198

MAT 7928

(d,d)

<sup>79</sup>Au-198

Radionuclide Production Cross Section



25

Incident Energy (MeV)

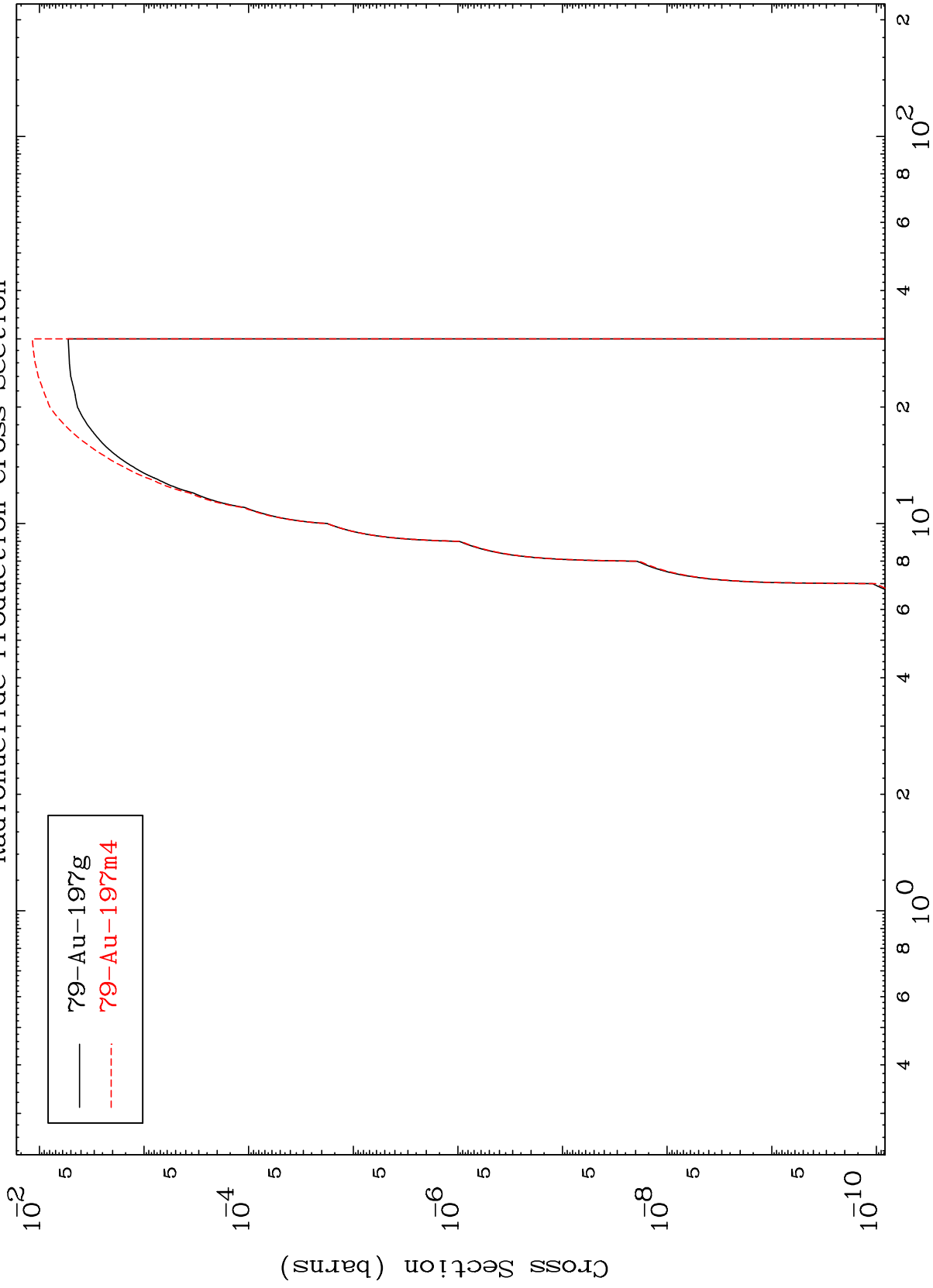
<sup>79</sup>Au-198

MAT 7928

(d, t)

<sup>79</sup>Au-198

Radionuclide Production Cross Section



26

Incident Energy (MeV)

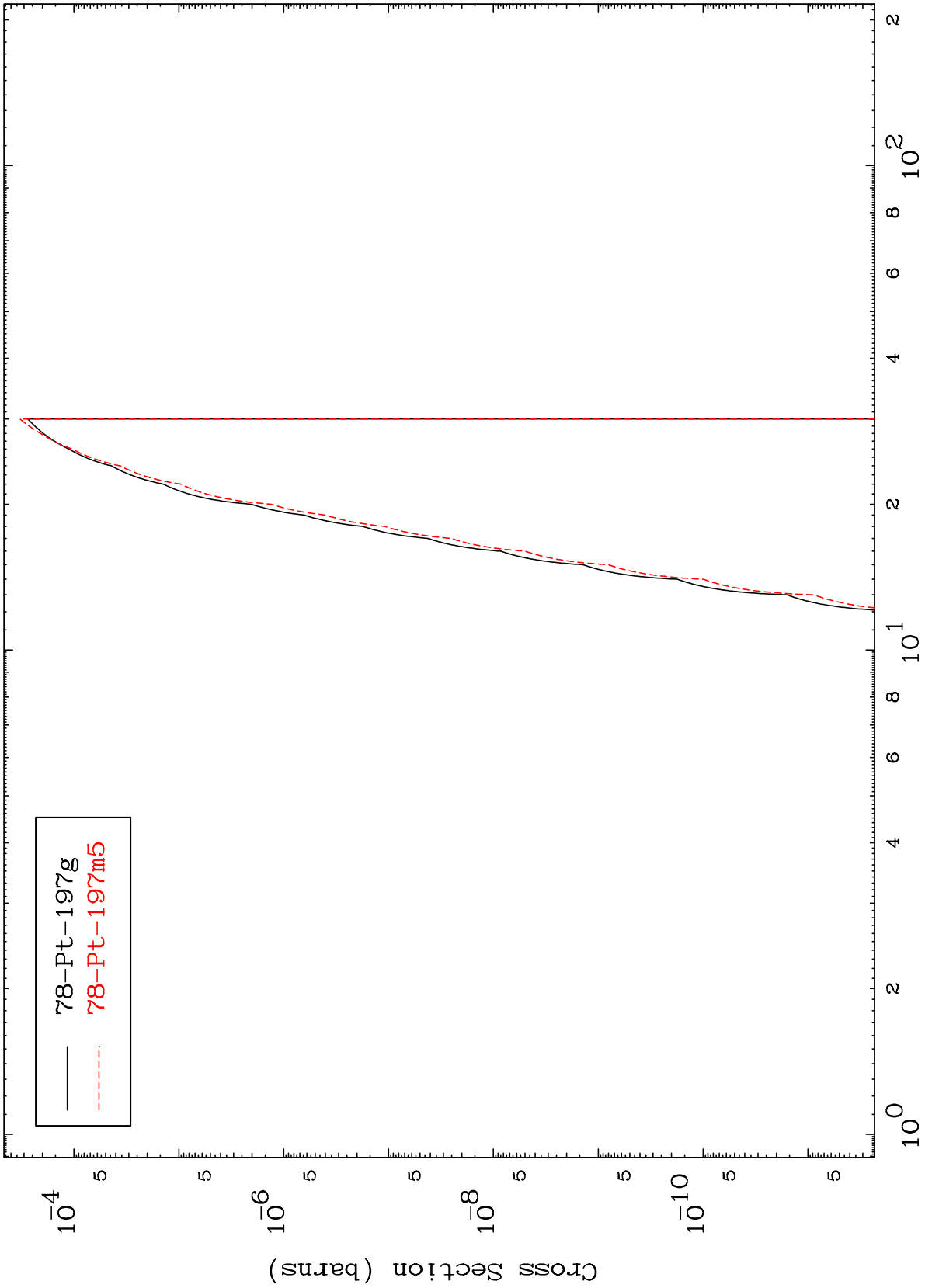
<sup>79</sup>Au-198

MAT 7928

(d, He-3)

79-Au-198

Radionuclide Production Cross Section



78-Pt-197g  
78-Pt-197m5

27

Incident Energy (MeV)

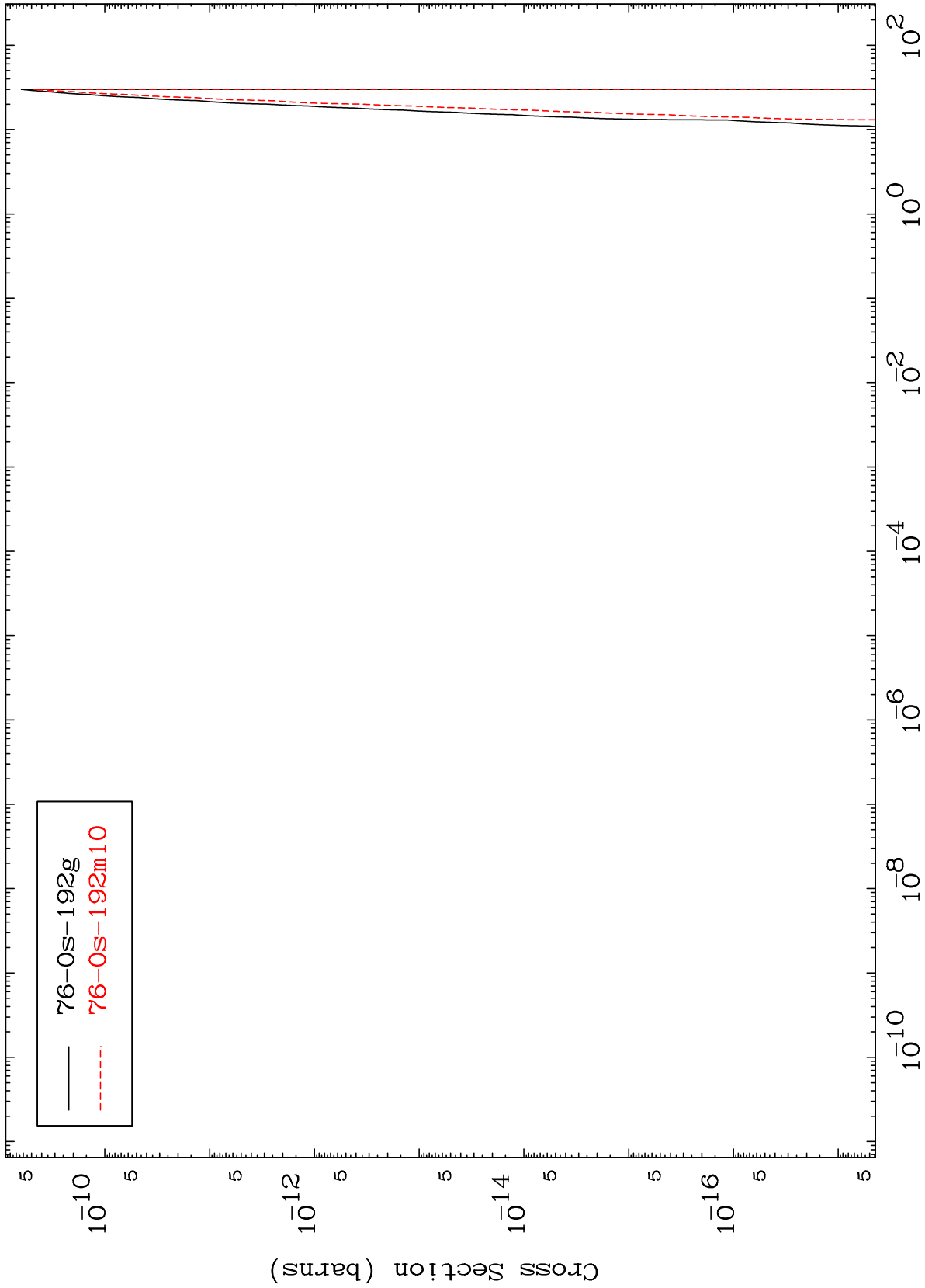
79-Au-198

MAT 7928

(d,2α)

79-Au-198

Radionuclide Production Cross Section

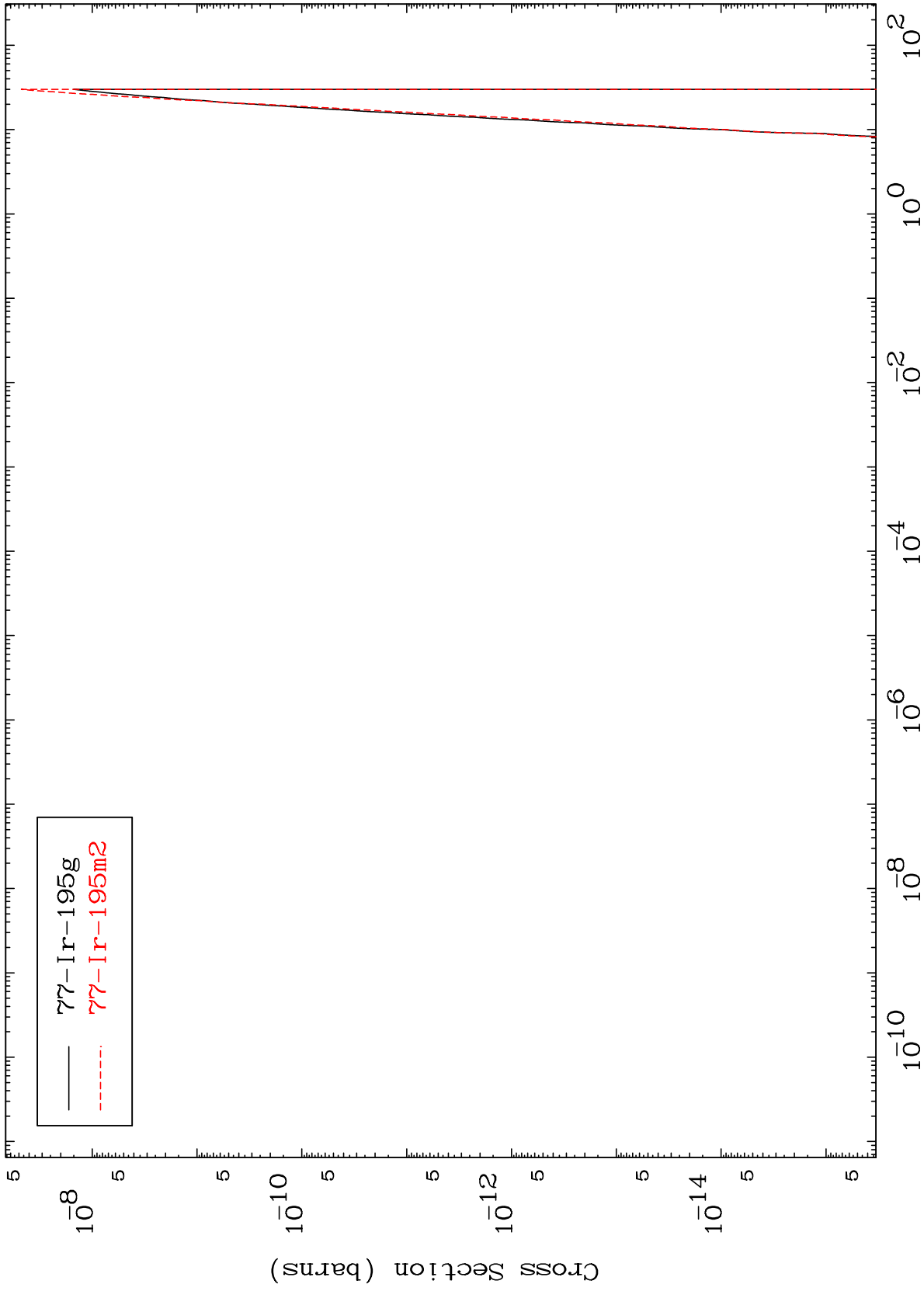


MAT 7928

(d,p)  $\alpha$

<sup>79</sup>Au-198

Radionuclide Production Cross Section



29

Incident Energy (MeV)

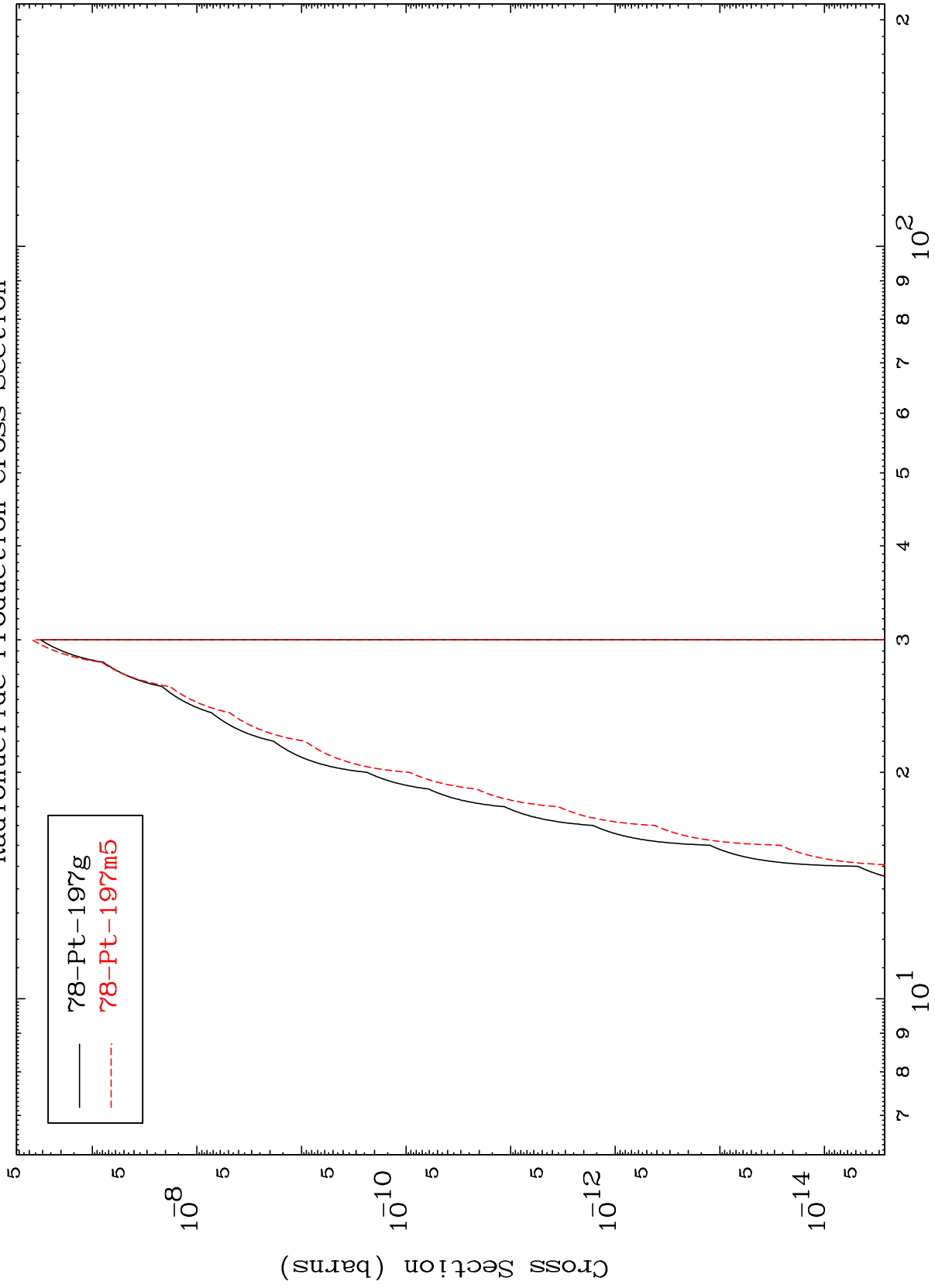
<sup>79</sup>Au-198

MAT 7928

(d,p) d

79-Au-198

Radionuclide Production Cross Section



30

Incident Energy (MeV)

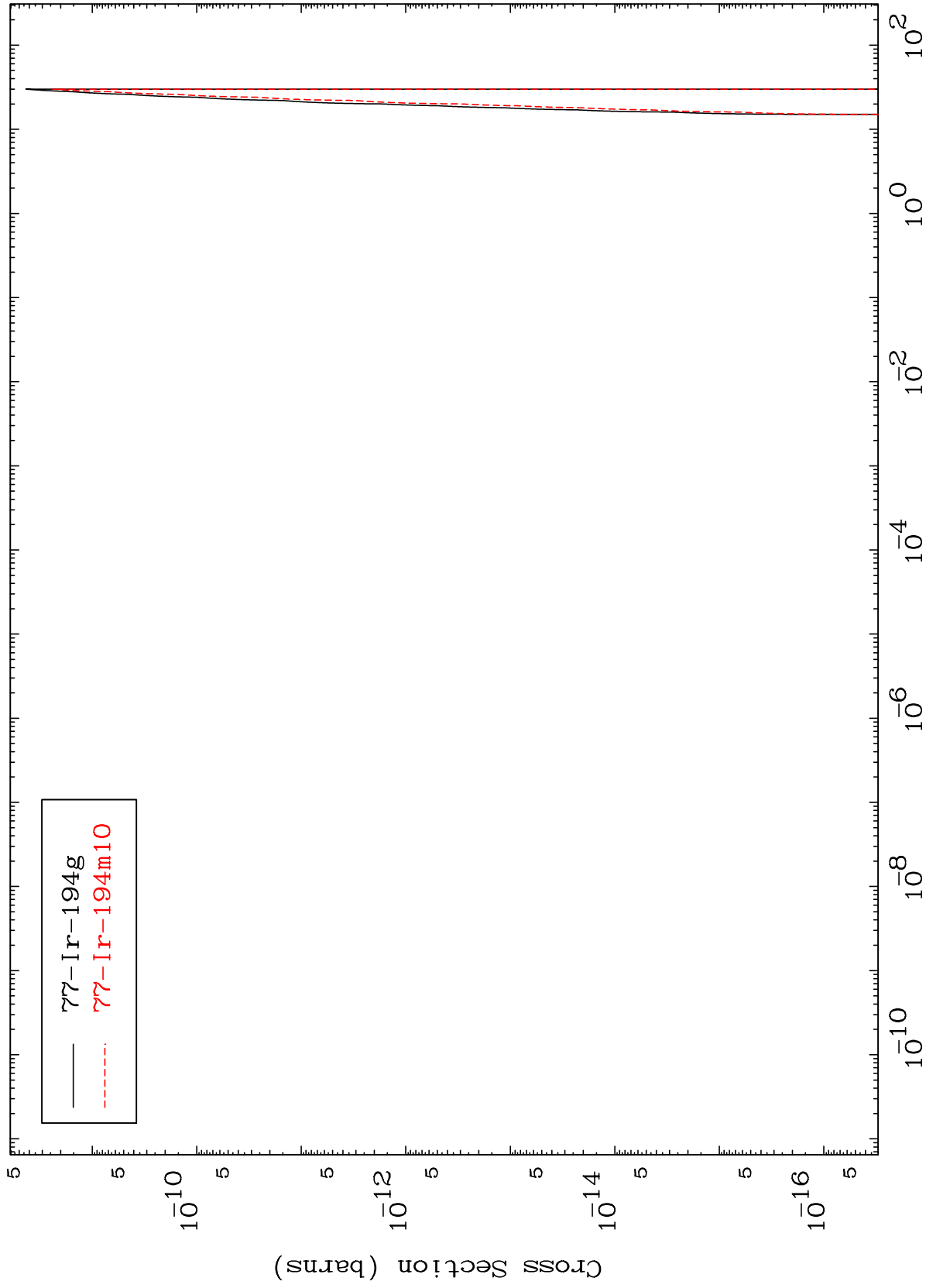
79-Au-198

MAT 7928

(d,d)  $\alpha$

<sup>79</sup>Au-198

Radionuclide Production Cross Section



31

Incident Energy (MeV)

<sup>79</sup>Au-198